

Distributed Power System Research Center

그리드포밍 인버터 기반 마이크로그리드 제어 및 운영기술

2023.07.05

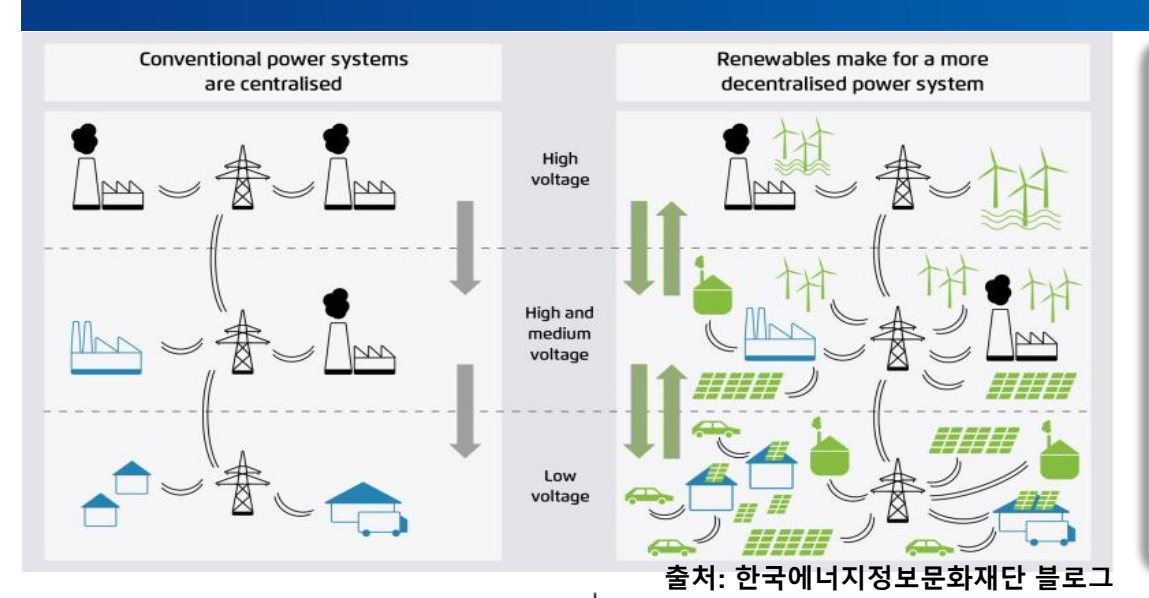
한국전기연구원 분산전력시스템 연구센터 유형준 선임연구원







전력망 진화 방향



Power System

Past: **SG** dominated system

Present: Increase penetration of **IBRs**

Future: IBR dominated system

System needs from IBR

power factor, minimal fault ride-through...

Automatic voltage control, frequency response, V/F ride-through

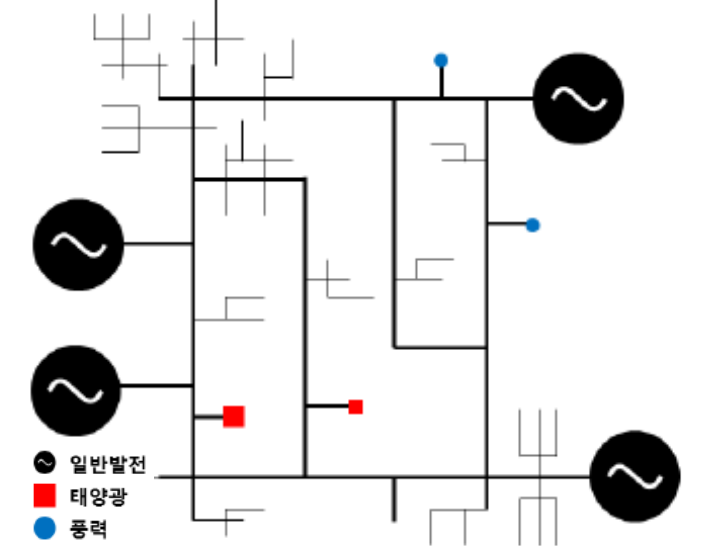
Without relying on SGs, provide the above services and more....

dominated Inverter system으로의 변화

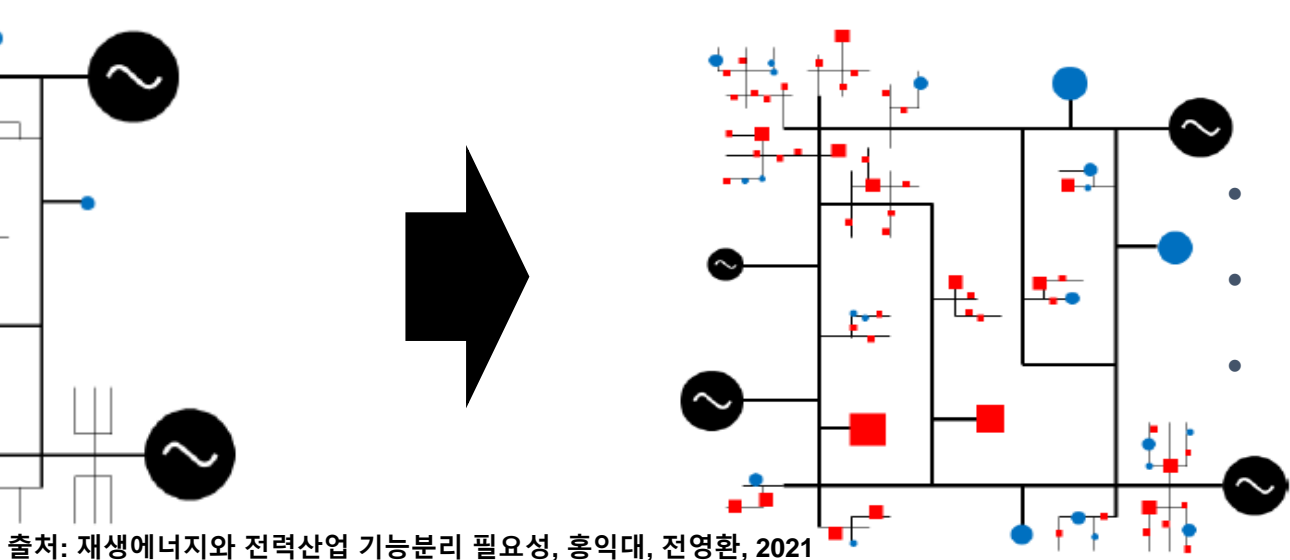


IBR은 그리드의 신뢰 성 보장을 위해 그리드 서비스를 제공 점진적으로 SG를 대체

- 송전시스템
- 대형화력기
- 동기발전기



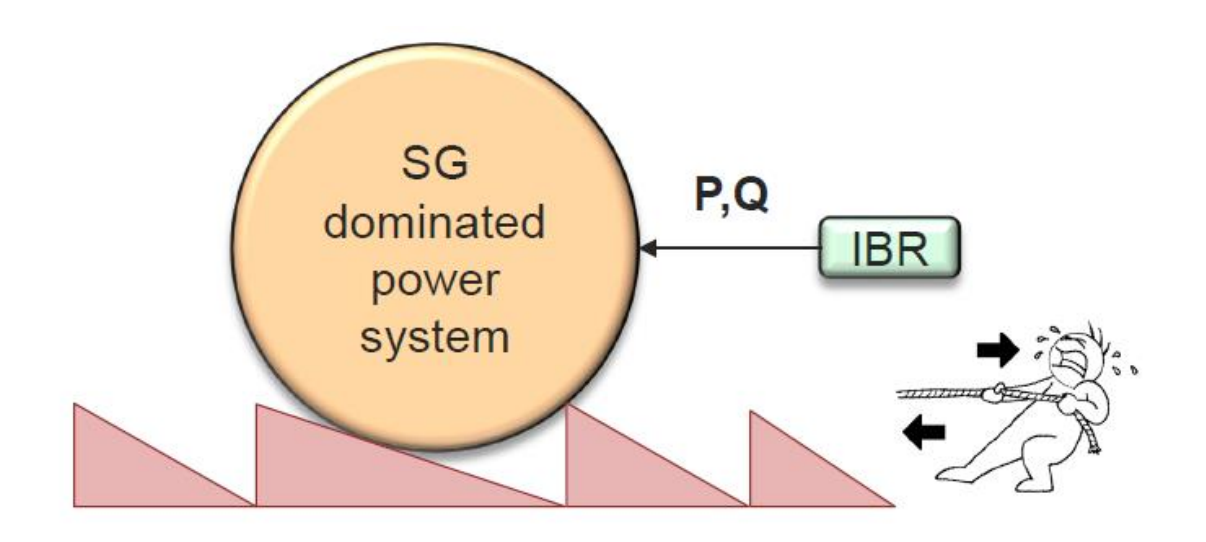




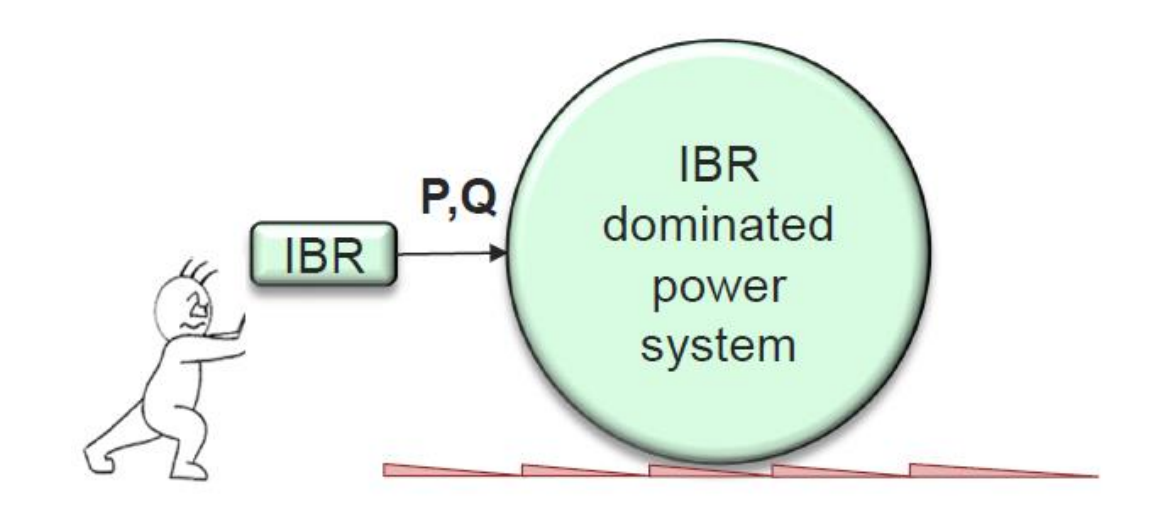
배전시스템

신재생전원

전력변환장치



- 과거의 IBR은 Stiff 전력시스템에 접속되는 것을 고려하여 제어기가 설계됨
 - IBR의 동특성이 Stiff 전력시스템에 거의 영향을 미치지 않음
 - IBR은 접속되어 있는 전력시스템의 변화에 영향을 받음



- IBR 접속량이 많은 전력시스템
 - 시스템의 제어가 용이함
 - IBR의 동특성이 전력시스템에 미치는 영향이 큼
 - IBR의 제어성능의 안정성이 보장되어야 함





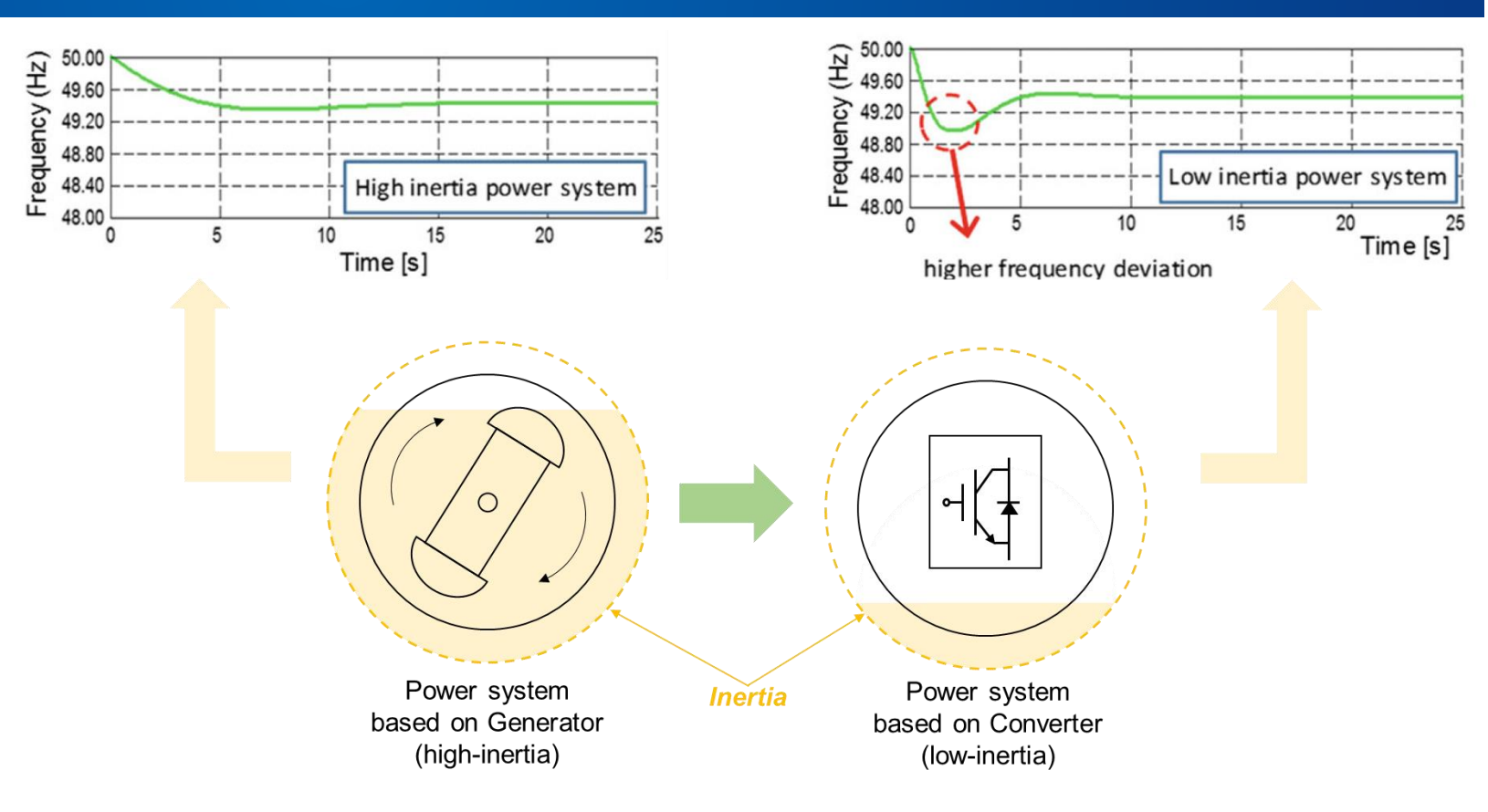
IBR 보급율 증대에 따른 주파수 문제

관성에너지 제공 기기 감소

수급분균형에 따른 주파수 변화에 대응하는 시간 감소

UFLS 동작 활성화 확률 증가

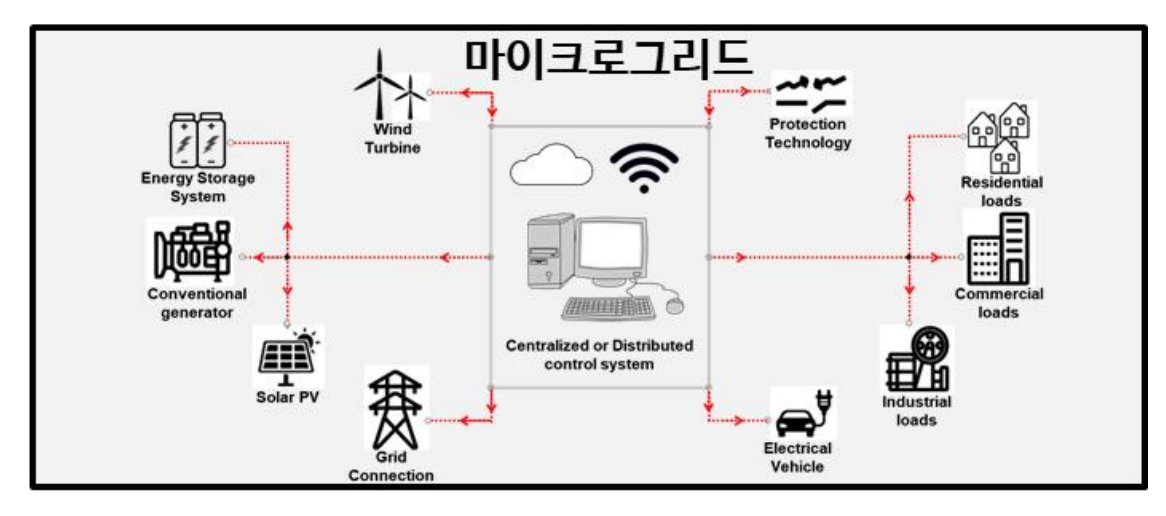
보호계전기 동작으로 인한 계단식 정전 가능성 증가



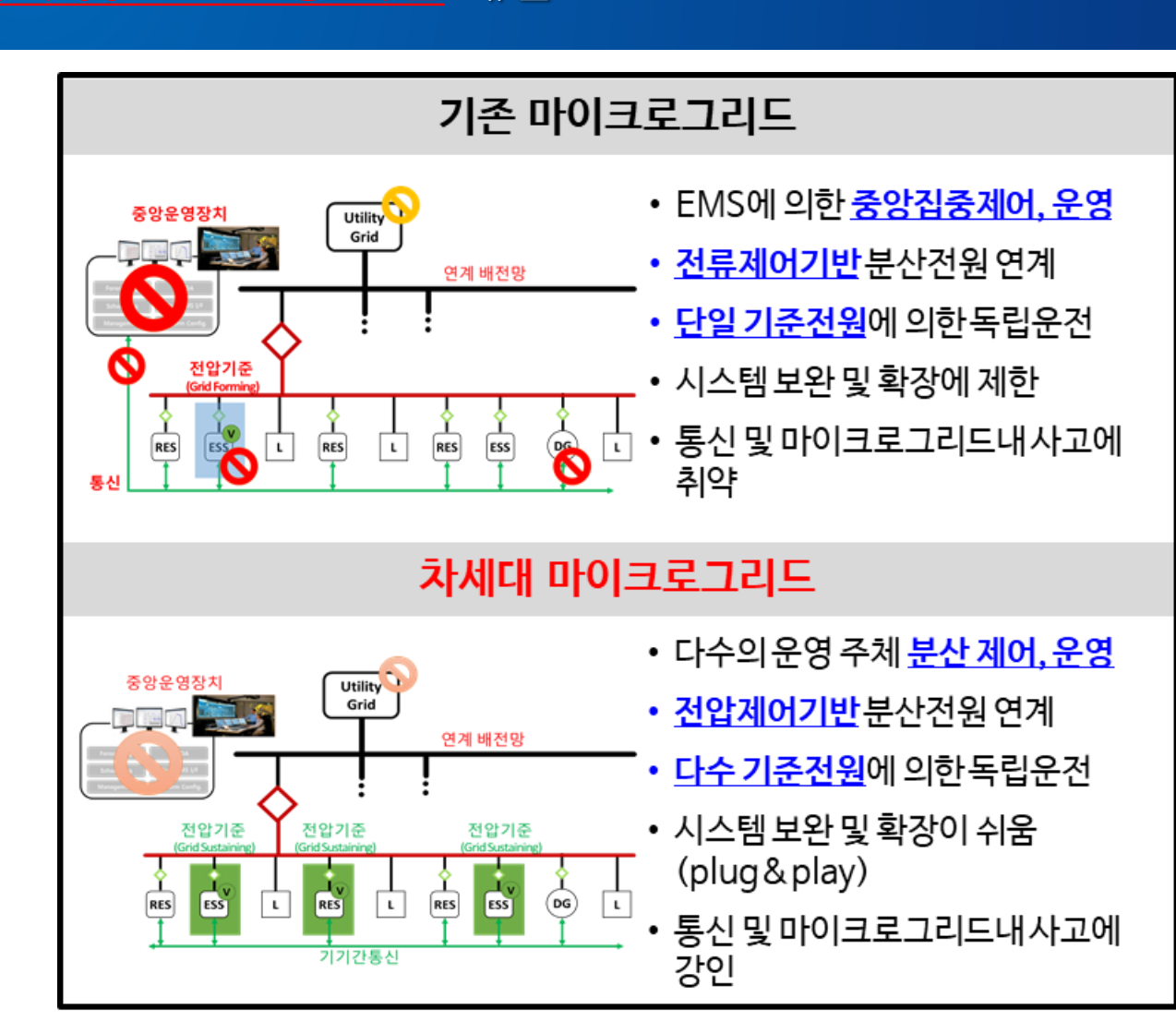
- ✓ 신재생전원 보급률이 높은 Ireland, Texas, and South Australia의 경우 하루 중 특정 시간동안 주파수 문제 발생
- ✔ Australia, Hawaii와 같은 소규모 섬 전력 시스템은 이미 저 관성 관련 문제에 직면해 있음



<u>재생전원 수용율 및 복원력 향상</u>을 위한 분산전원의 계통유지 제어 및 분산운영 기술 개발



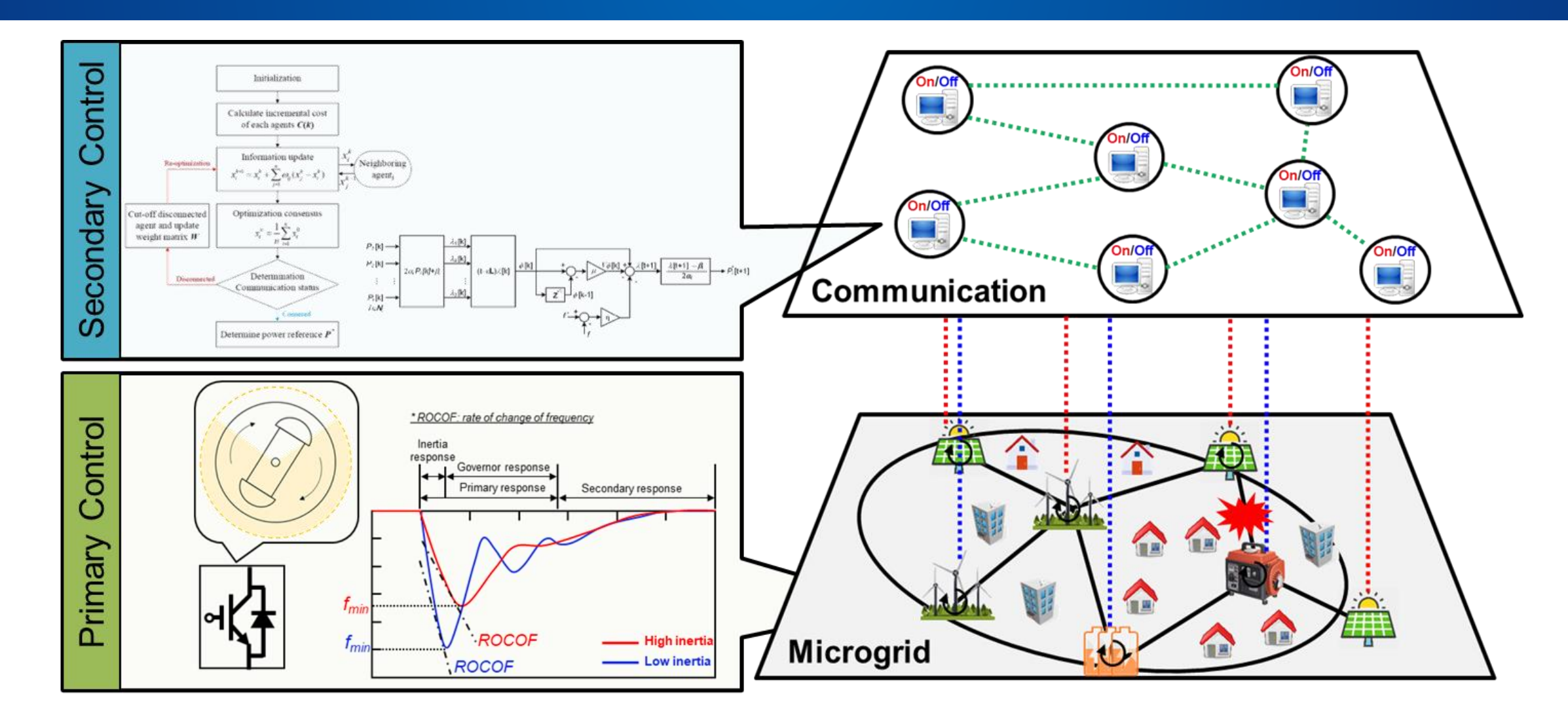








- ❖ 그리드포밍 기반 가상관성 컨버터 제어기술 개발 <u>신재생수용율 향상(주파수 안정도 향상)</u>
- ❖ 분산운영 기술 개발 중앙 EMS 없는 운영시스템



마이크로그리드 운영

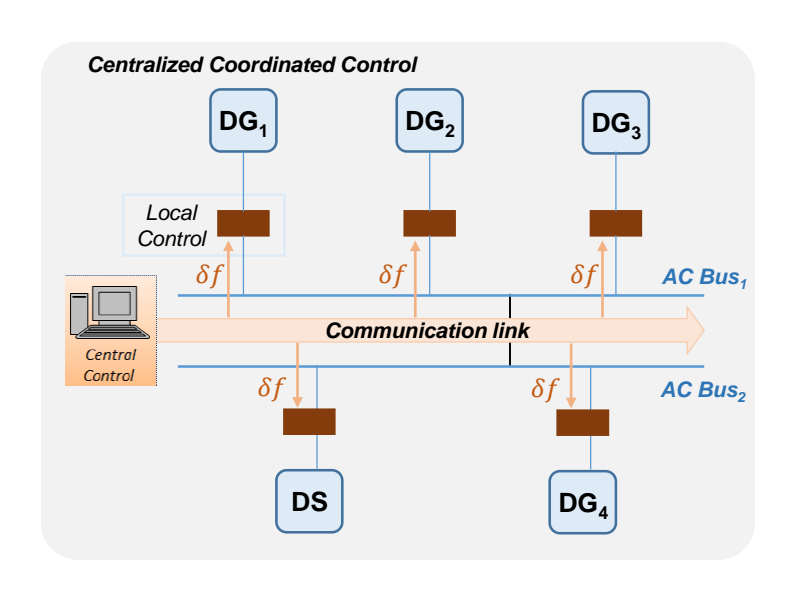


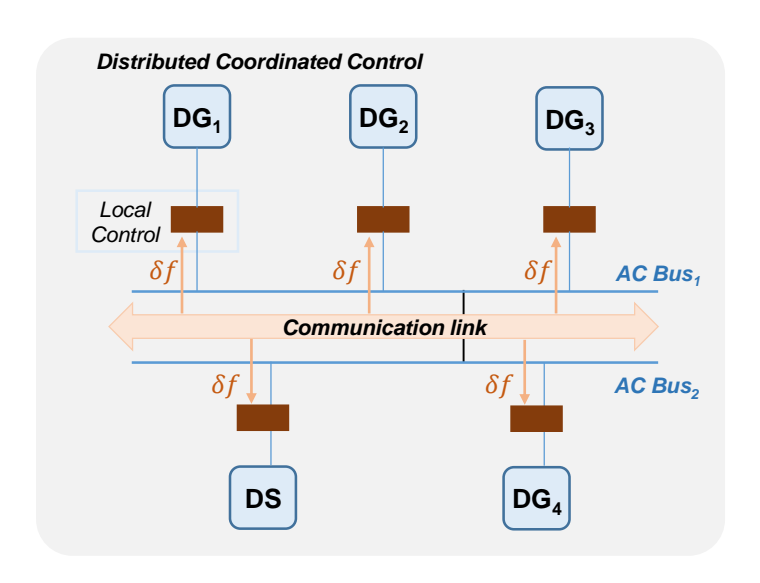


- ❖ 중앙집중식 운영
 - 단일 EMS를 이용하여 시스템 내 요소의 모든 정보를 받아 지령치 생성 및 전송
 - High bandwidth 통신 필요
 - 단일 통신 고장에 취약함

❖ 분산운영

- 시스템 내 요소간 통신을 이용하여 필요정보만을 주고 받으며 지령
 치 자체 생성
- Low bandwidth 통신사용가능
- 도서지역 등 소규모 전력시스템에 사용 가능(경제성 확보)
- 자연재해, 전쟁 등 큰 재난 발생 시 resiliency 확보 가능





관성제어(virtual inertia) 기술





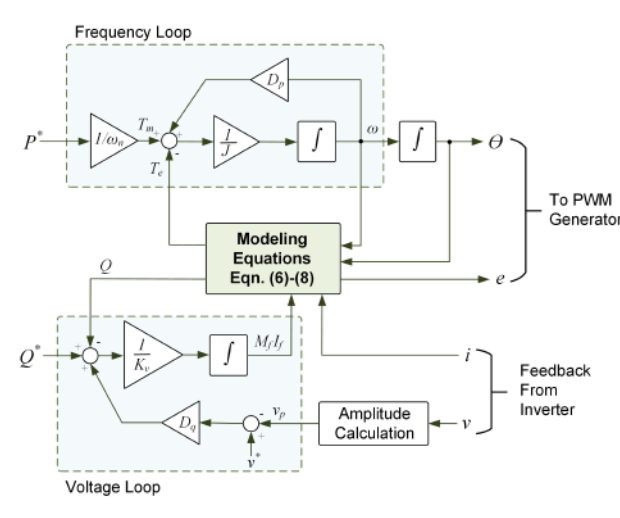
❖ 시스템의 주파수 안정도를 향상시키기 위하여 전력변환장치 기반 분산전원에 관성 특성을 반영한 제어 기 법

- Synchronous Generator model based(Synchronverters)
 - 동기기의 다이나믹을 매우 유사하게 모의 가능
 - 파라미터의 정확성에 따른 시스템 불안정성 내제
- Swing Equation based(Ise Lab's Topology)
 - 상대적으로 모델링이 간편함
 - 출력전력과 주파수에 진동발생
- Frequency-power response based(VSYNC's Topology)
 - 전류원으로 동작
 - PLL 특성에 따라 시스템 안정도 영향

$$P_{VSG} = K_D \Delta \omega + K_I \frac{d\Delta \omega}{dt}$$

$$I_d^* = \frac{2}{3} \left(\frac{V_d P_{VSG} - V_q Q}{V_d^2 + V_q^2} \right)$$

<Frequency-power response based>



<Synchronous Generator model based>

$$P_{in} - P_{out} = J\omega_m(\frac{d\omega_m}{dt}) + D_p\Delta\omega$$
$$\Delta\omega = \omega_m - \omega_g$$

<Swing Equation based>

Ref.[1]: U. Tamrakar, D. Shreshta, M. Maharjan, B. P. Bhattarai, T. M. Hansen, and R. Tonkoski, "Virtual Inertia: Current Trends and Future Directions," Energies, 2017.





DC 전원 공급 확보 가능 전원 (배터리, 연료전지 등)



그리드포밍 인버터 제어기술



스윙방정식

DC 전원 공급이 불확실한 전원 (태양광, 풍력발전)



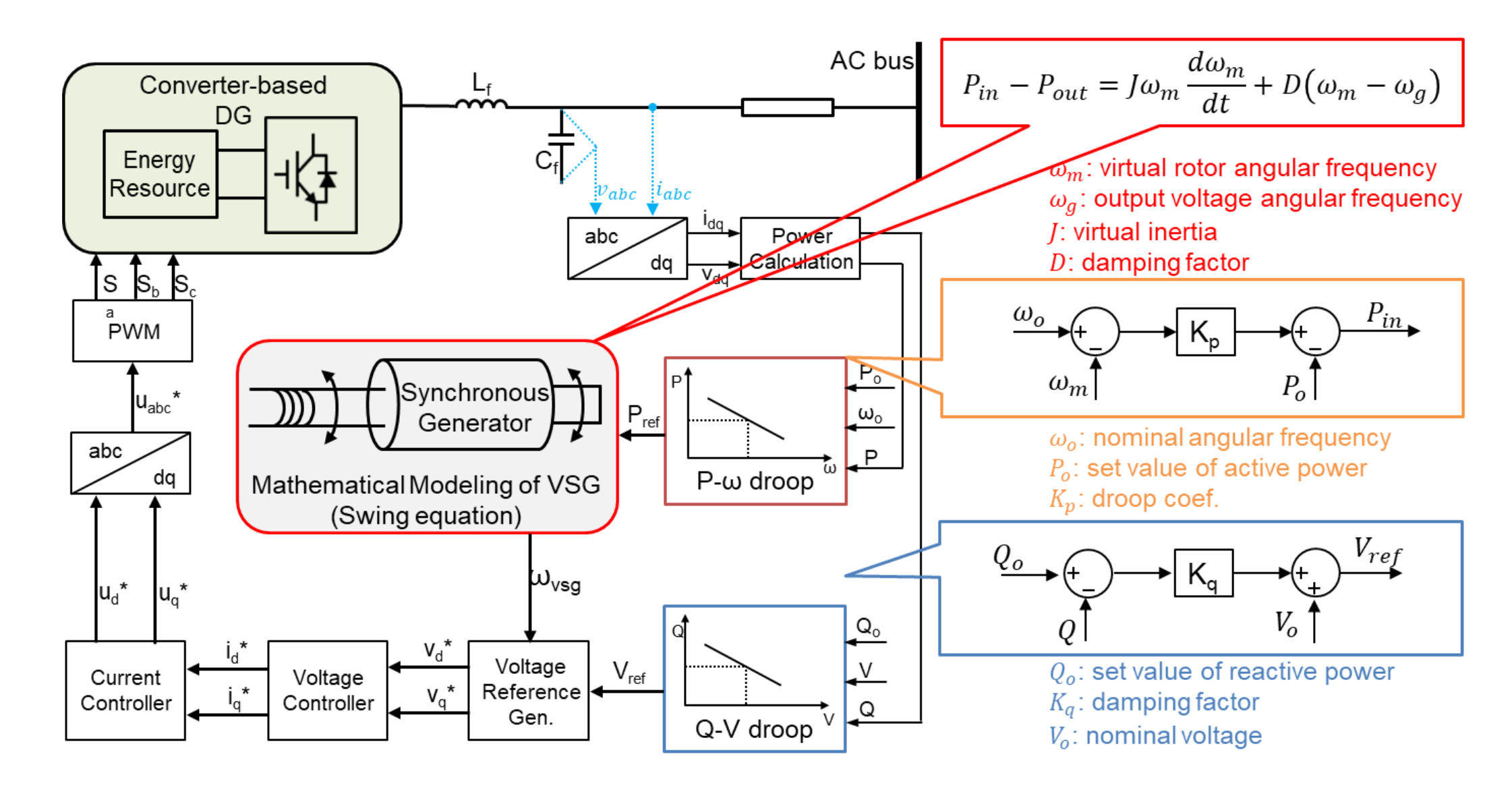
$$P_{in} - P_{out} = J\omega_m \frac{d\omega_m}{dt} + D(\omega_m - \omega_g)$$

Inertia Support



가상동기발전기(Virtual Synchronous Generator, VSG)

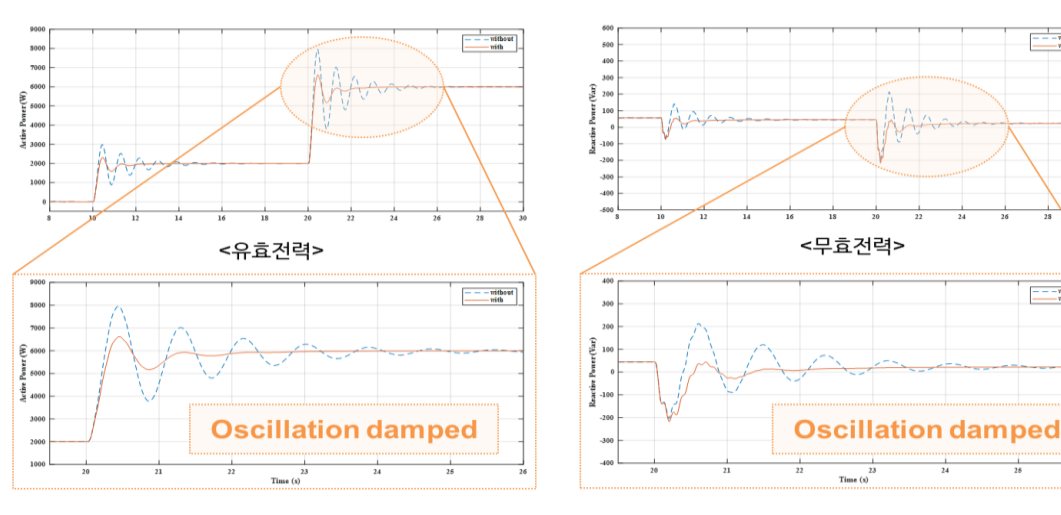
❖ ESS - 가상관성을 적용한 AC/DC 전력변환장치

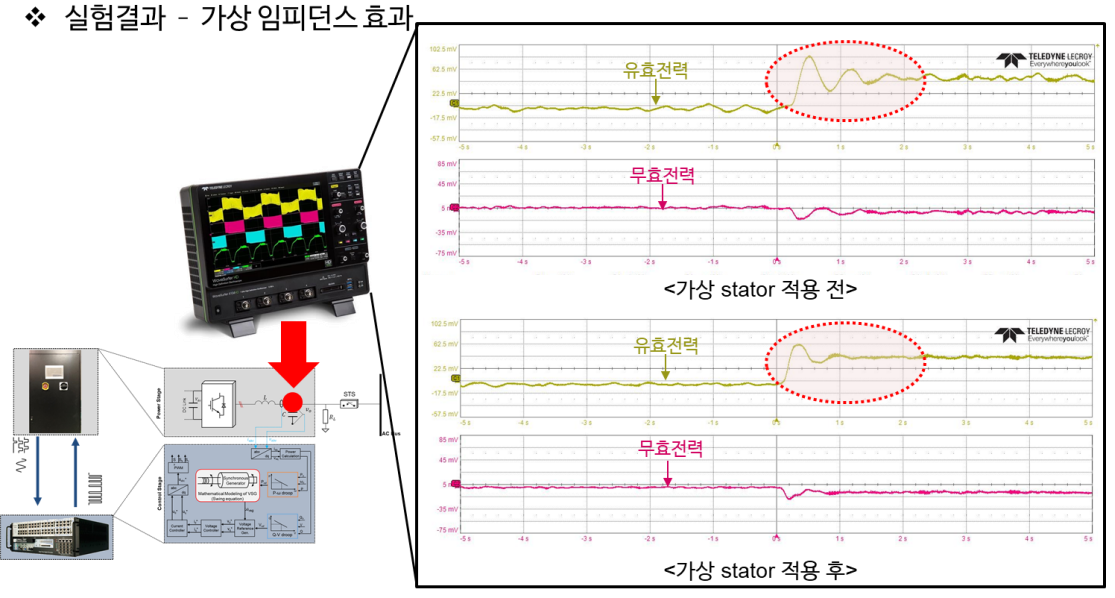


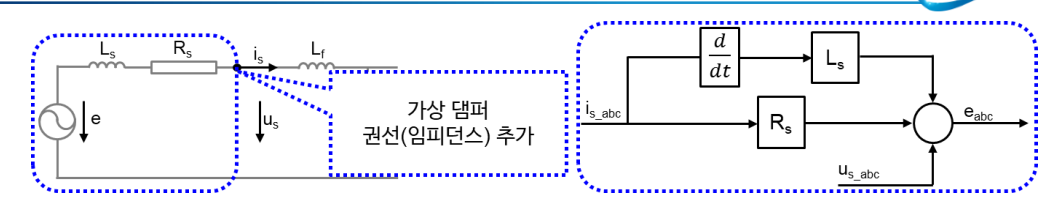
연구개발내용 – ESS 용 그리드포밍기반 가상관성기술



- ❖ 시뮬레이션 및 실험을 통한 효과 검토
 - 계통연계운전모드

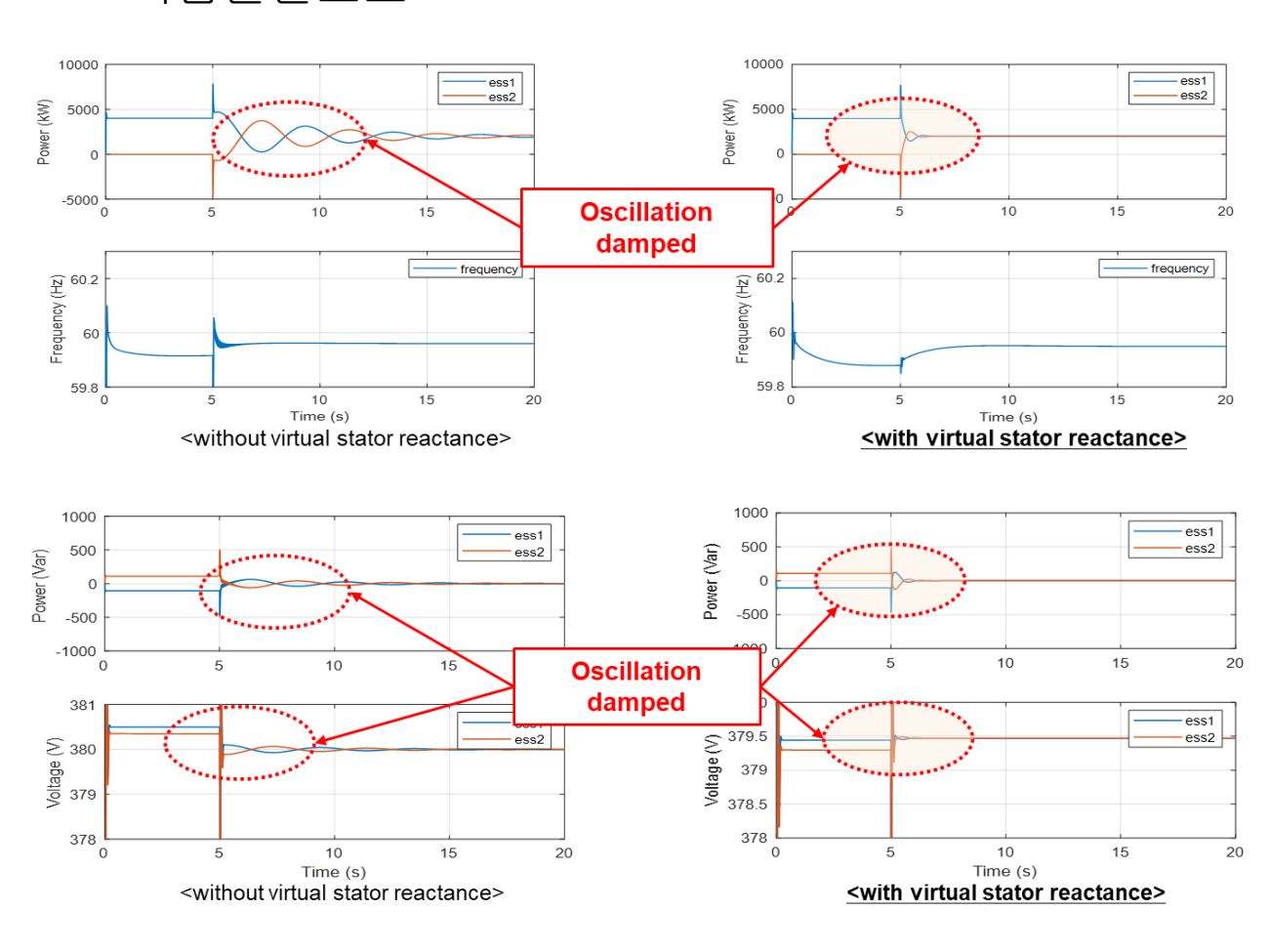






<댐핑을 위한 가상임피던스>

▪ 독립운전모드



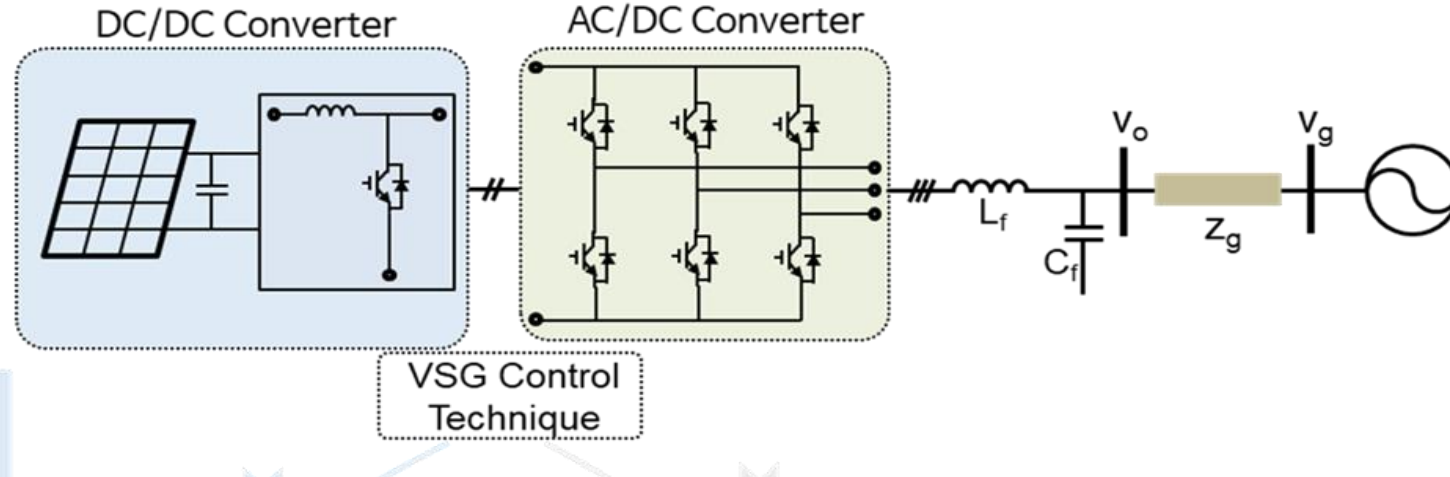


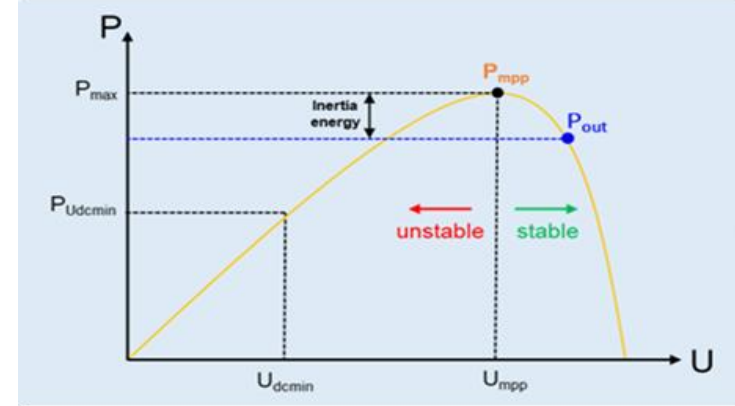
가상관성 적용 태양광 발전시스템 개념

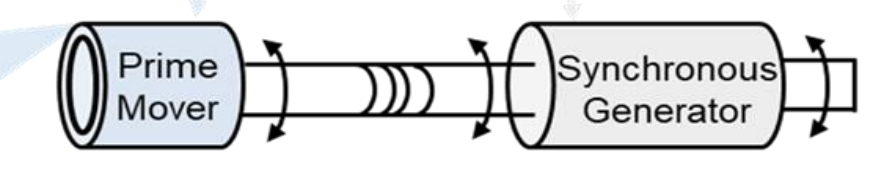
• PV 시스템: DC/DC 컨버터 + AC/DC 컨버터

✓ DC/DC 컨버터: Prime mover

✓ AC/DC 컨버터: Synchronous generator





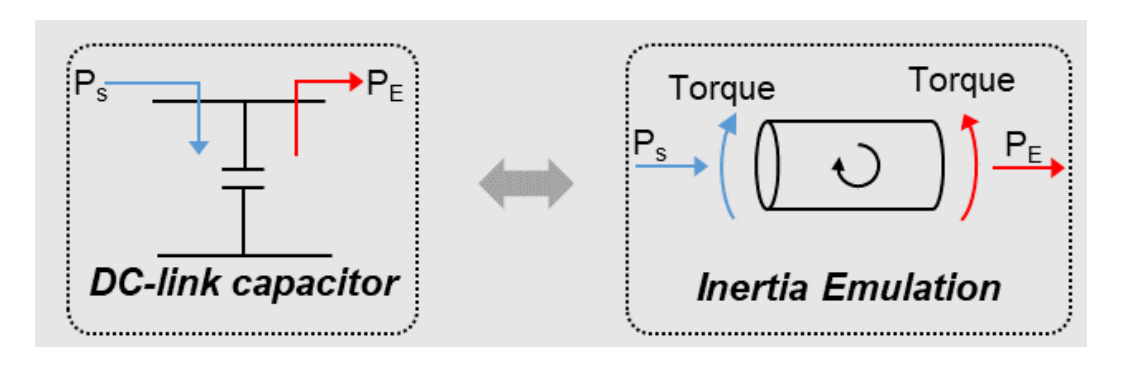


연구개발내용 – PV 용 그리드포밍기반 가상관성기술

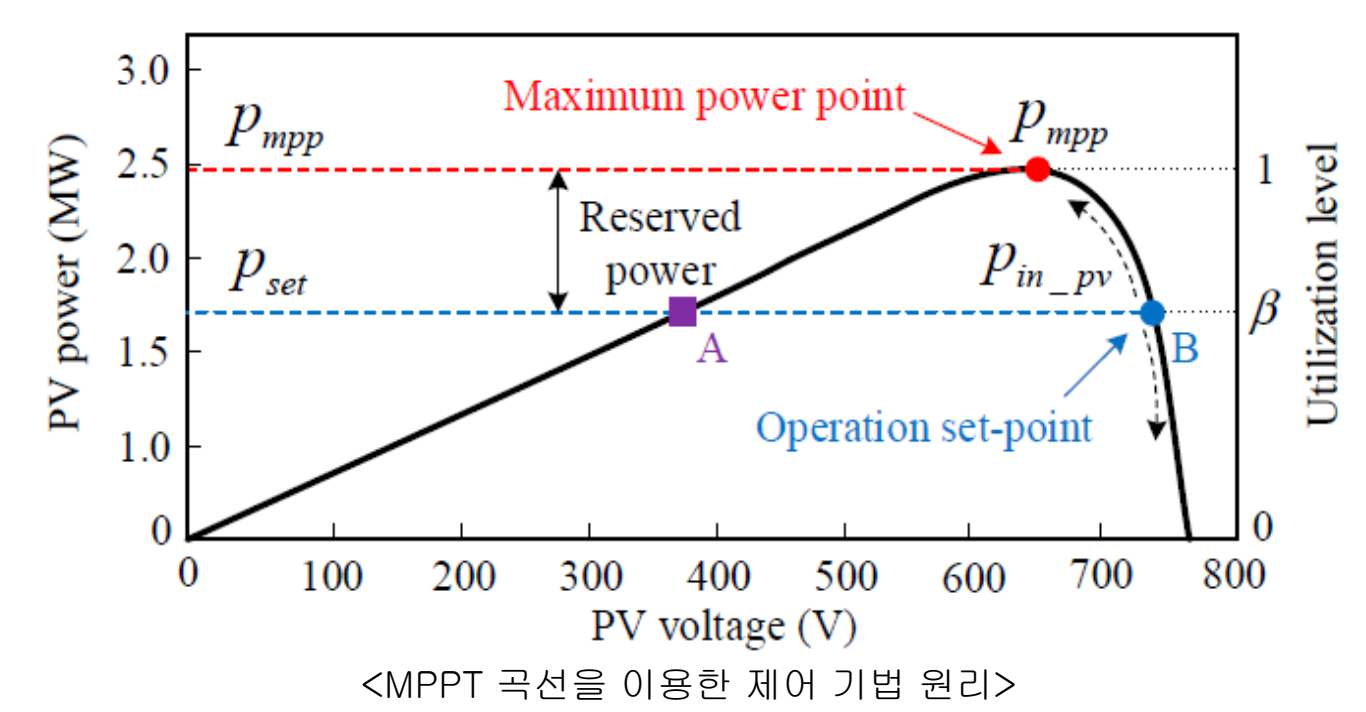


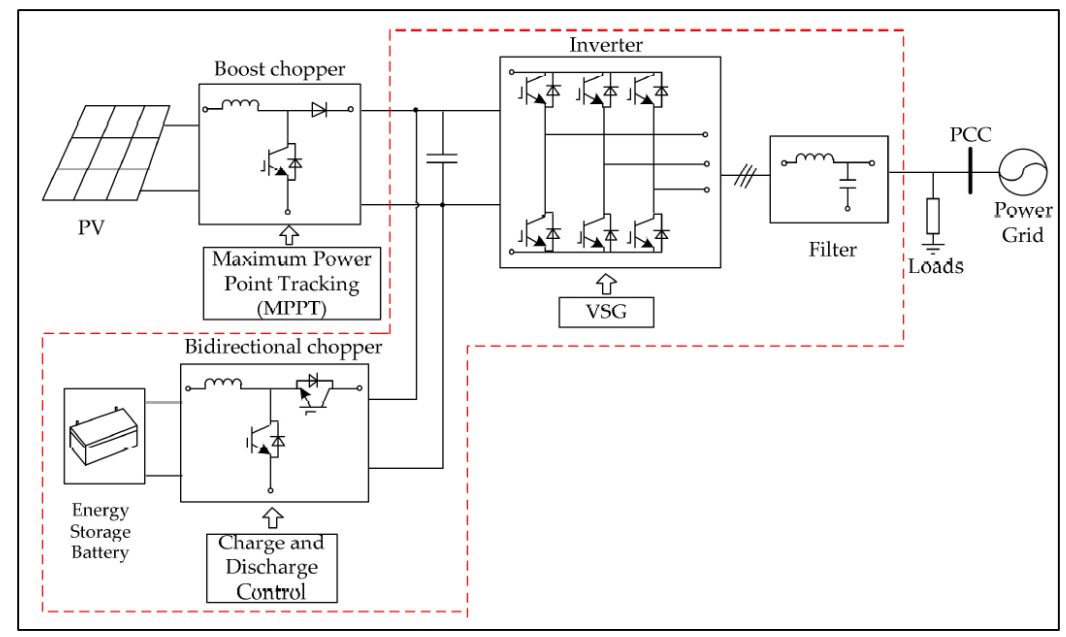
13

- ❖ 신재생전원의 전압제어 기반 가상관성제어 기법
 - DC링크 커패시터를 이용한 관성에너지 모의
 - 에너지저장장치를 이용한 관성에너지 모의
 - PV의 MPPT 곡선을 이용한 관성에너지 모의



<DC링크를 이용한 제어 기법 원리>

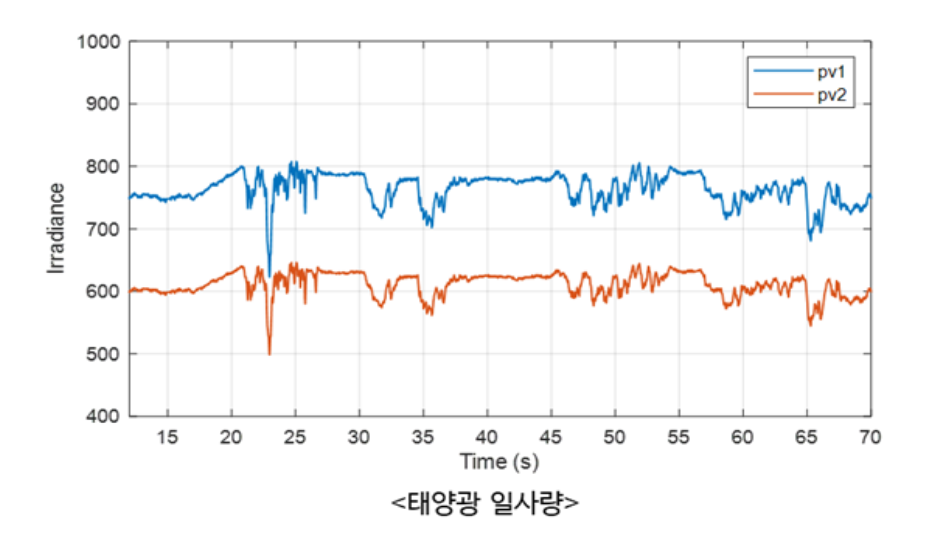


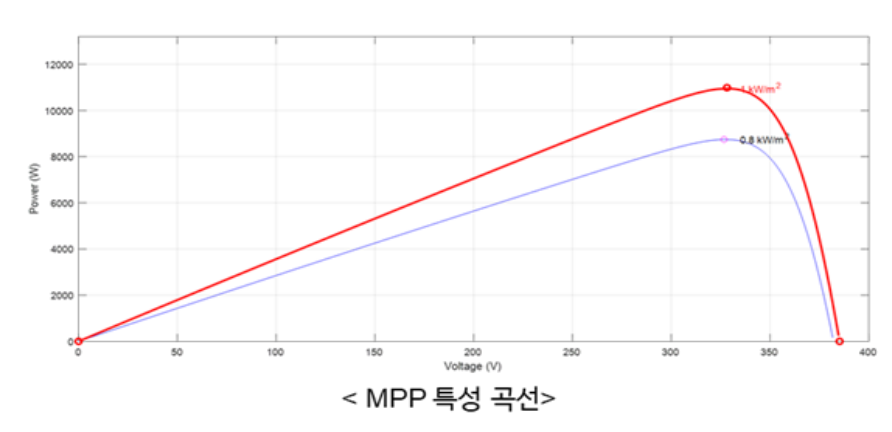


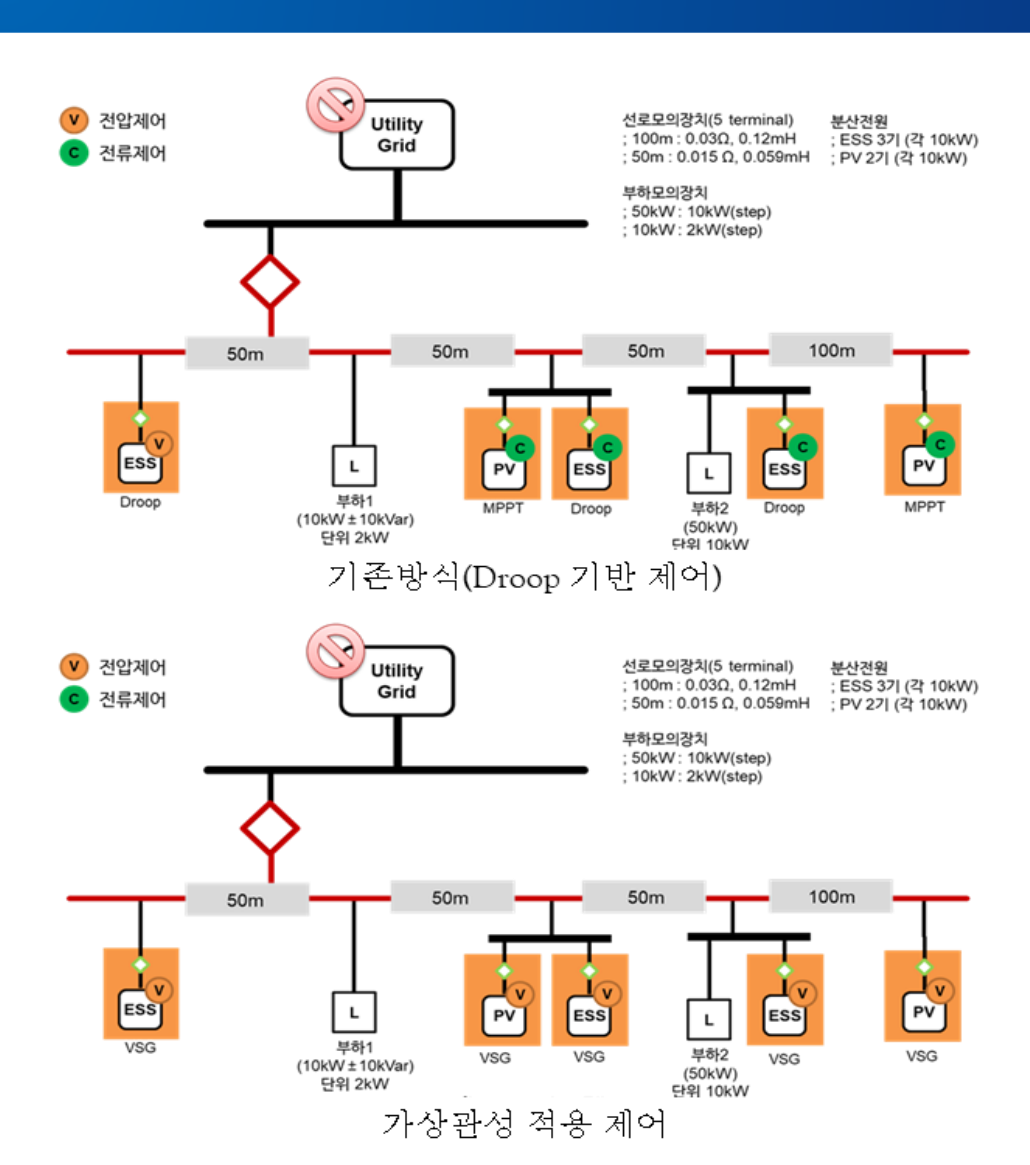
<ESS를 이용한 제어 기법 원리>

가상관성 적용 태양광 발전시스템 모의실험 시나리오

❖ 태양광 출력 및 부하변동에 따른 주파수 응답 특성 검토

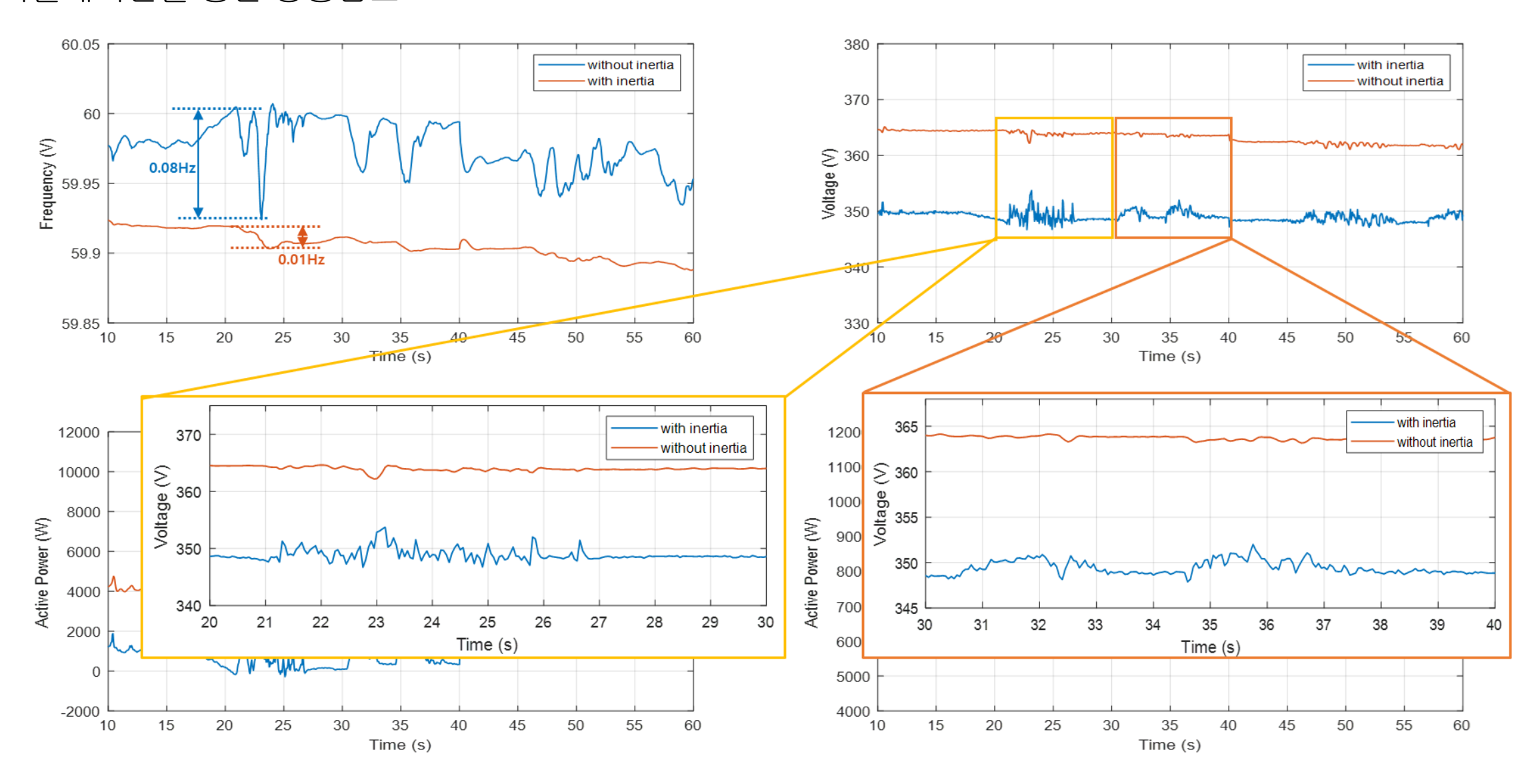








❖ 시뮬레이션을 통한 성능검토





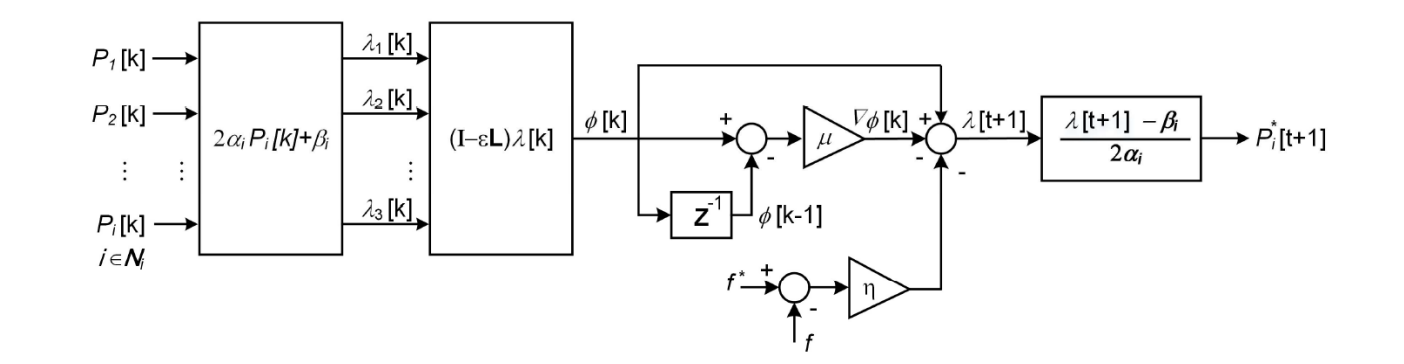
- ❖ 인버터 기반 마이크로그리드 분산운영 기술
 - ESS 증분비용 및 diffusion 알고리즘
 - ESS 비용 함수

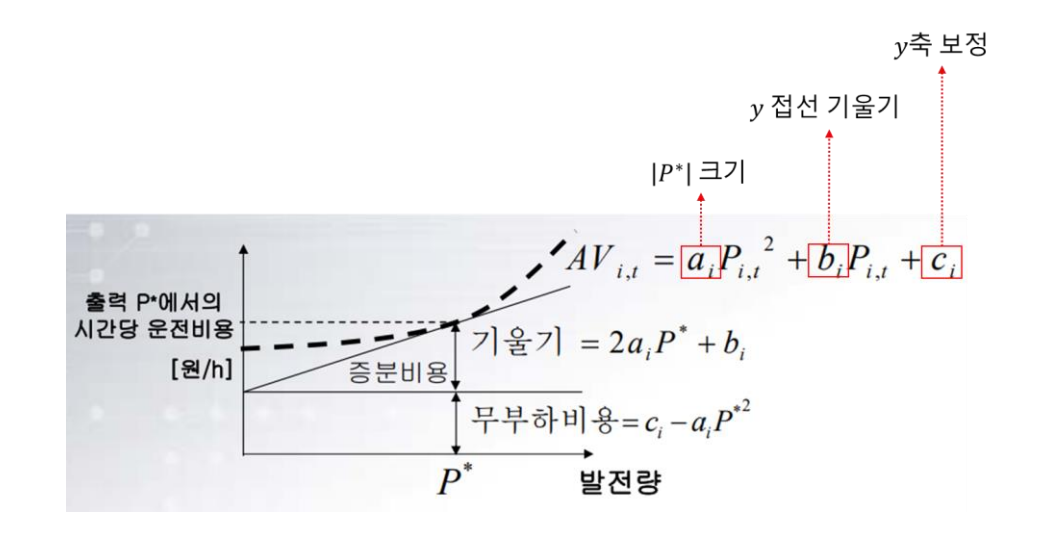
$$C_e(P_e^{ESS}) = \alpha_e^{ESS} (P_e^{ESS} + 3P_{e,\text{max}}^{ESS} \cdot (DOD))^2$$
$$+ \beta_e^{ESS} (P_e^{ESS} + 3P_{e,\text{max}}^{ESS} \cdot (DOD)) + \gamma_e^{ESS}$$

• 2차 주파수 보정을 고려한 디퓨젼 알고리즘

$$\Phi[k] = (I - \varepsilon L)\lambda[k]$$

$$\lambda[k+1] = \Phi[k] - \mu \nabla \Phi_{\nu}[k] - \eta(f^* - f)$$





• ESS 증분비용

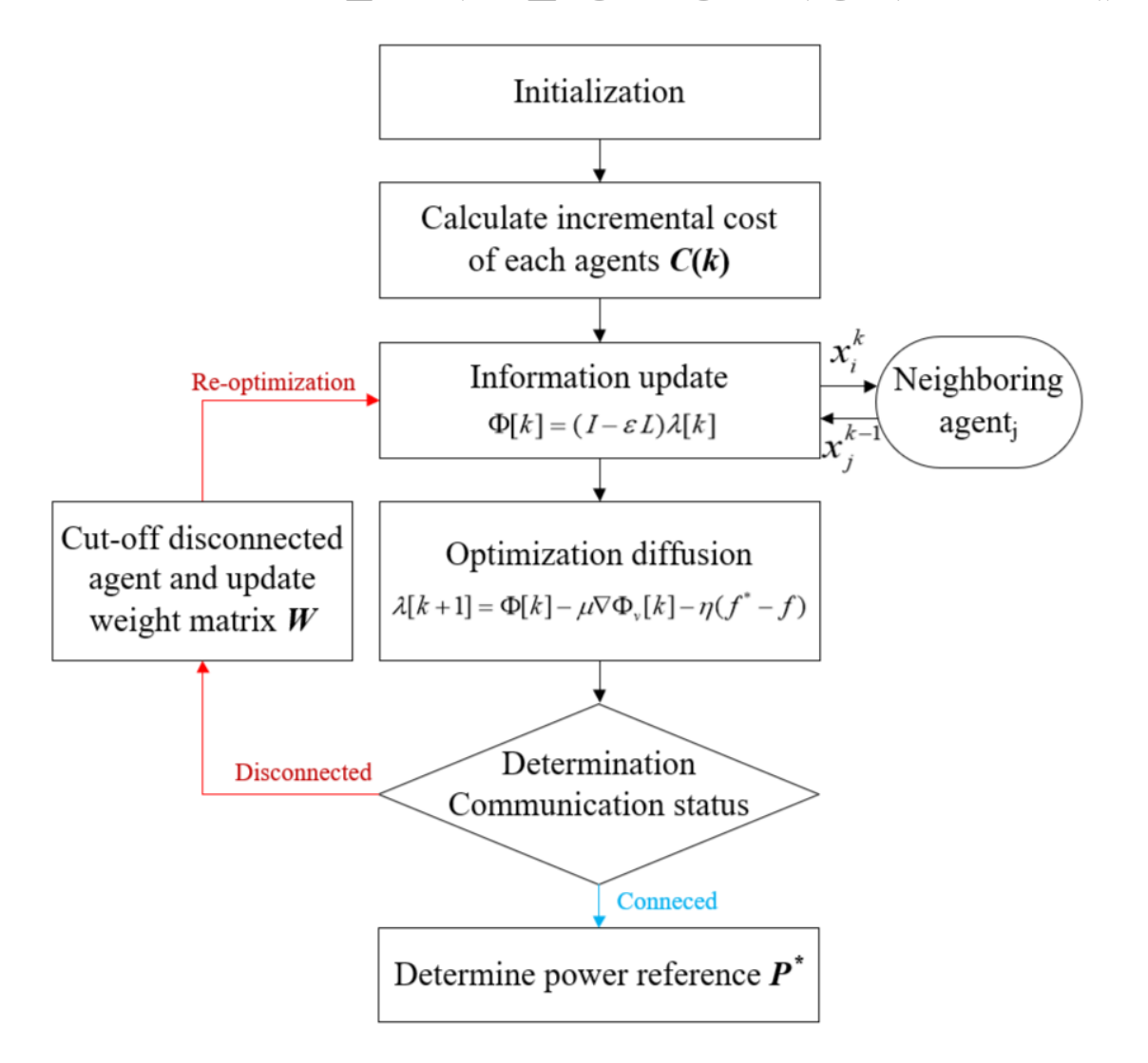
$$\frac{\partial C_e(P_e^{ESS})}{\partial P_e^{ESS}} = 2\alpha_e^{ESS} (P_e^{ESS} + 3P_{e,\text{max}}^{ESS} \cdot (DOD)) + \beta_e^{ESS}$$

- *P_e*: ·방전 전력
- $P_{e,max}$: ·방전 전력
- α,β,γ: 2 계수
- *DOD* : Depth of discharge

연구개발내용 – 분산운영 기술 개발

- **KERI** 17

- ❖ 인버터 기반 마이크로그리드 분산운영 기술
 - Diffusion 알고리즘을 통한 증분비용 수렴 프로세스



• 증분비용 수렴

$$\begin{cases} \Phi[k] = (I - \varepsilon L)\lambda[k] \\ \lambda[k+1] = \Phi[k] - \mu \nabla \Phi_{\nu}[k] - \eta(f^* - f) \end{cases}$$

• 통신 토폴로지 (a_{ii}) 탐색 및 가중치 행렬 업데이트(W)

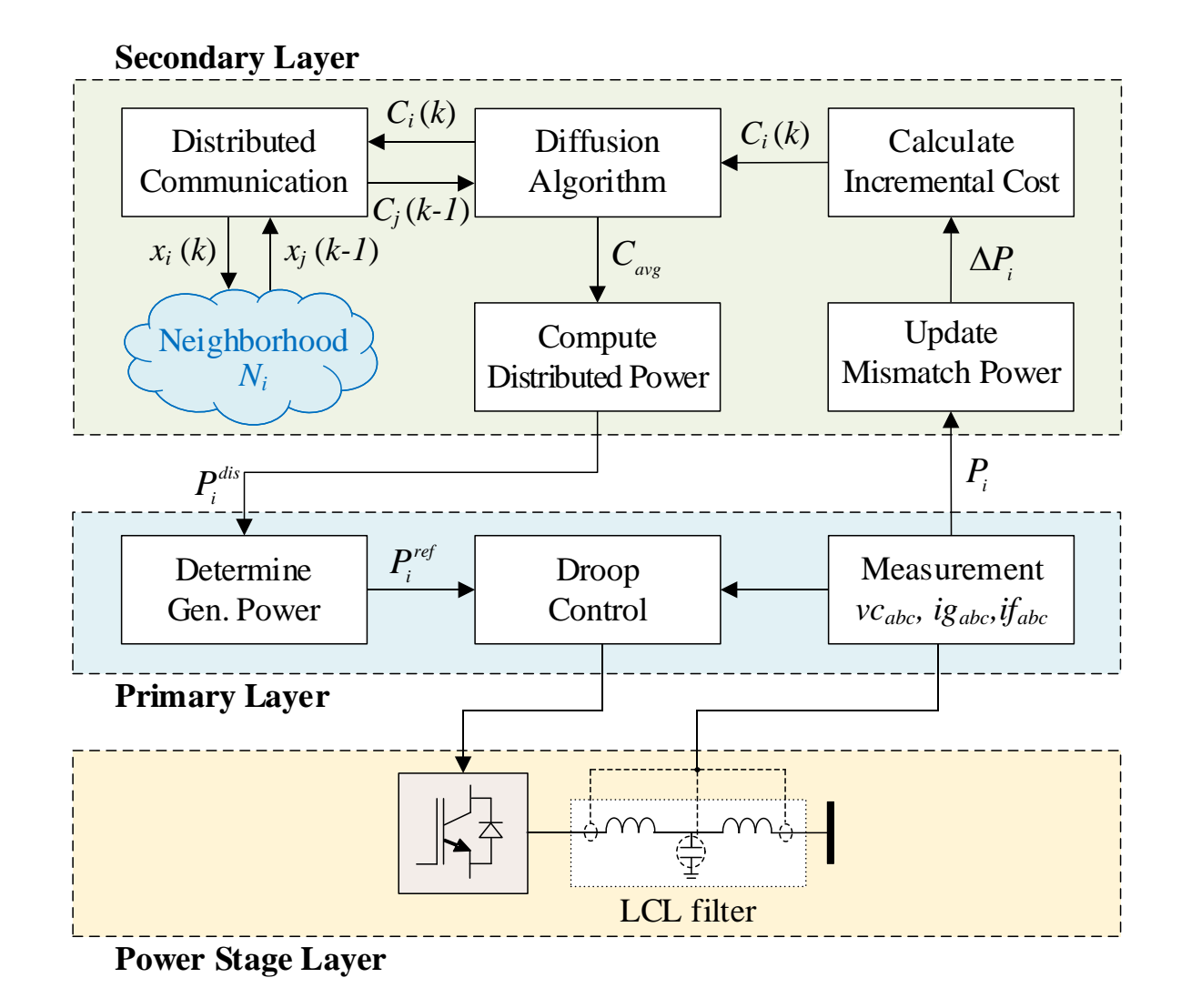
$$a_{ij} = \begin{cases} 1 & if(i,j) \in \varepsilon \\ 0 & if(i,j) \notin \varepsilon \ or \ i = j \end{cases}$$

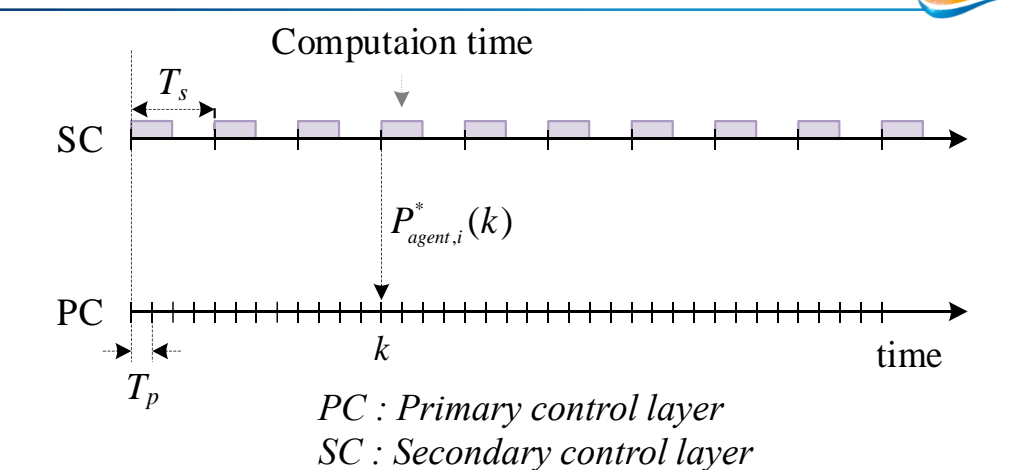
$$\omega_{ij} = \begin{cases} 1/[\max(n_i + n_j) + 1] \\ 1 - \sum_{j \in N_i} 1/[\max(n_i + n_j) + 1] \\ 0 \end{cases}$$

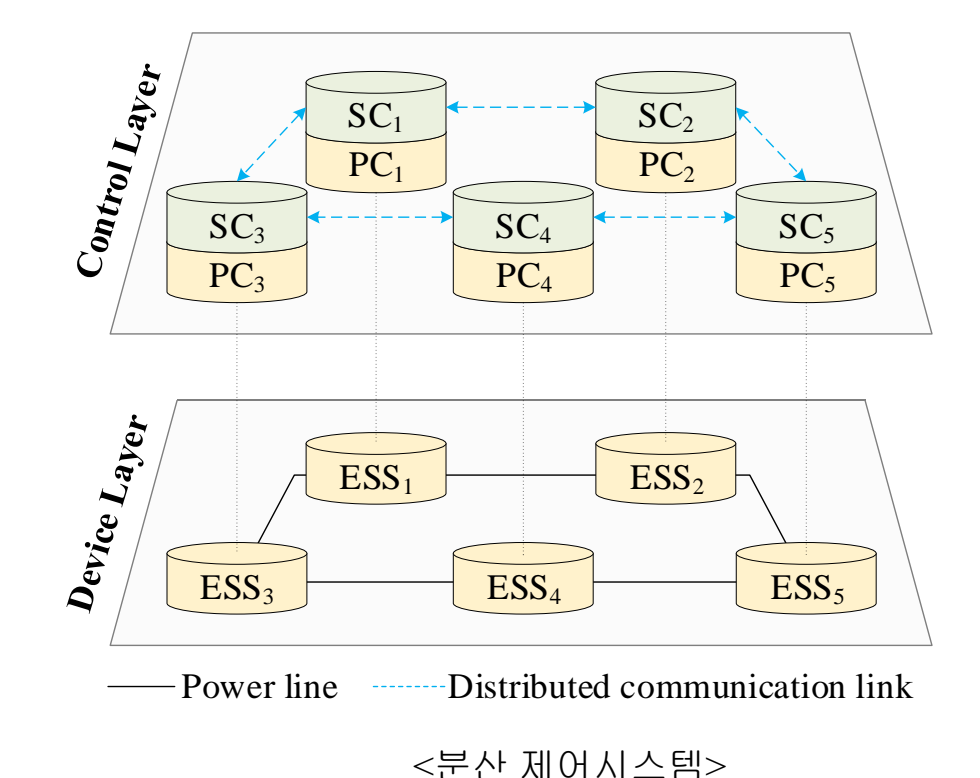
• ESS 전력 지령치 결정 (P_{dis})

$$P_{disESS}^{k} = \left(\left(\lambda_{i}^{k+1} - y \right) / 2x \right) - \left(3P_{b, \max} DOD \right)$$

- 인버터 기반 마이크로그리드 분산운영 기술
 - 계층 제어 시스템





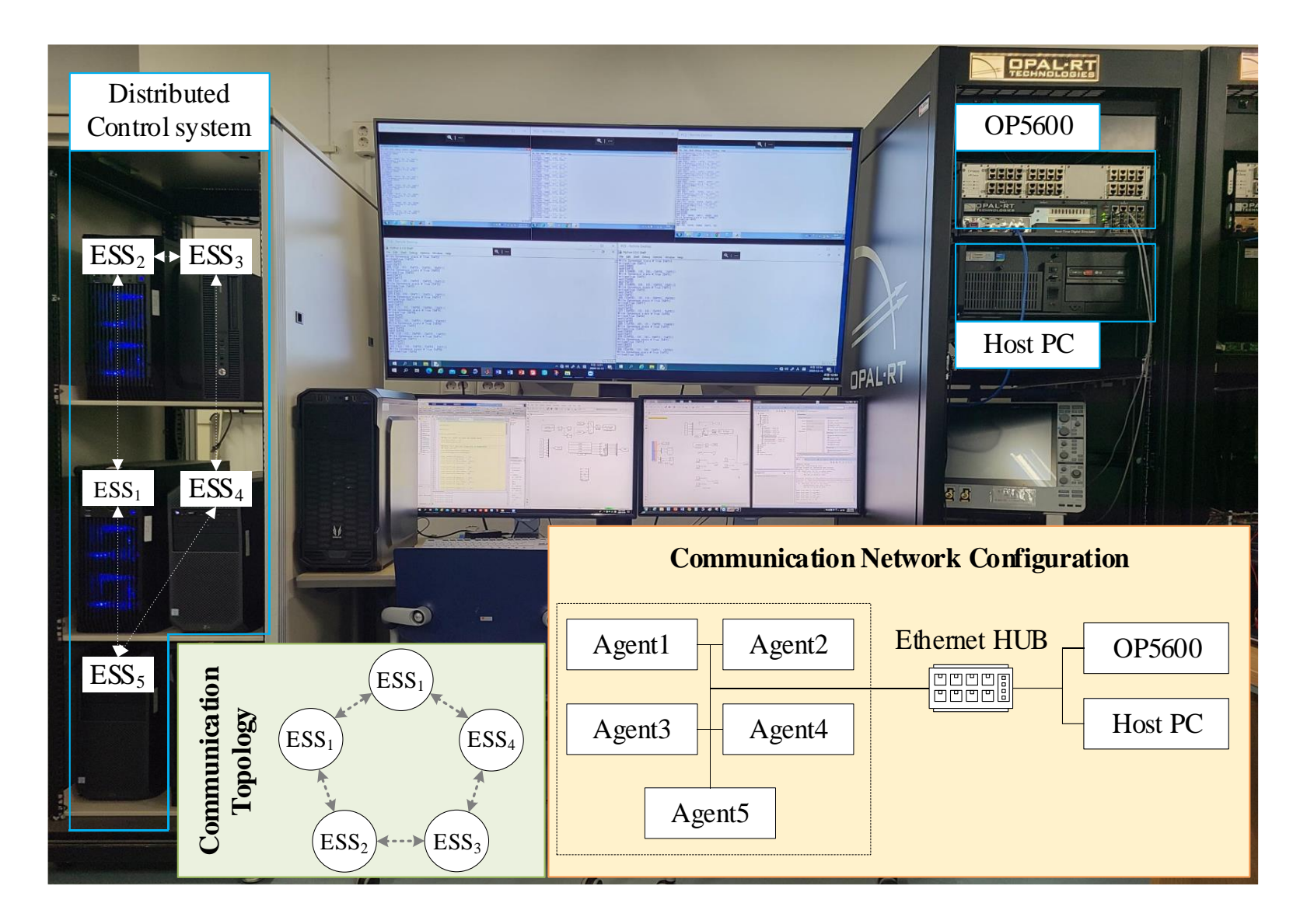


연구개발내용 – 분산운영 기술 개발



9

❖ 인버터 기반 마이크로그리드 분산운영 기술계층 제어 시스템



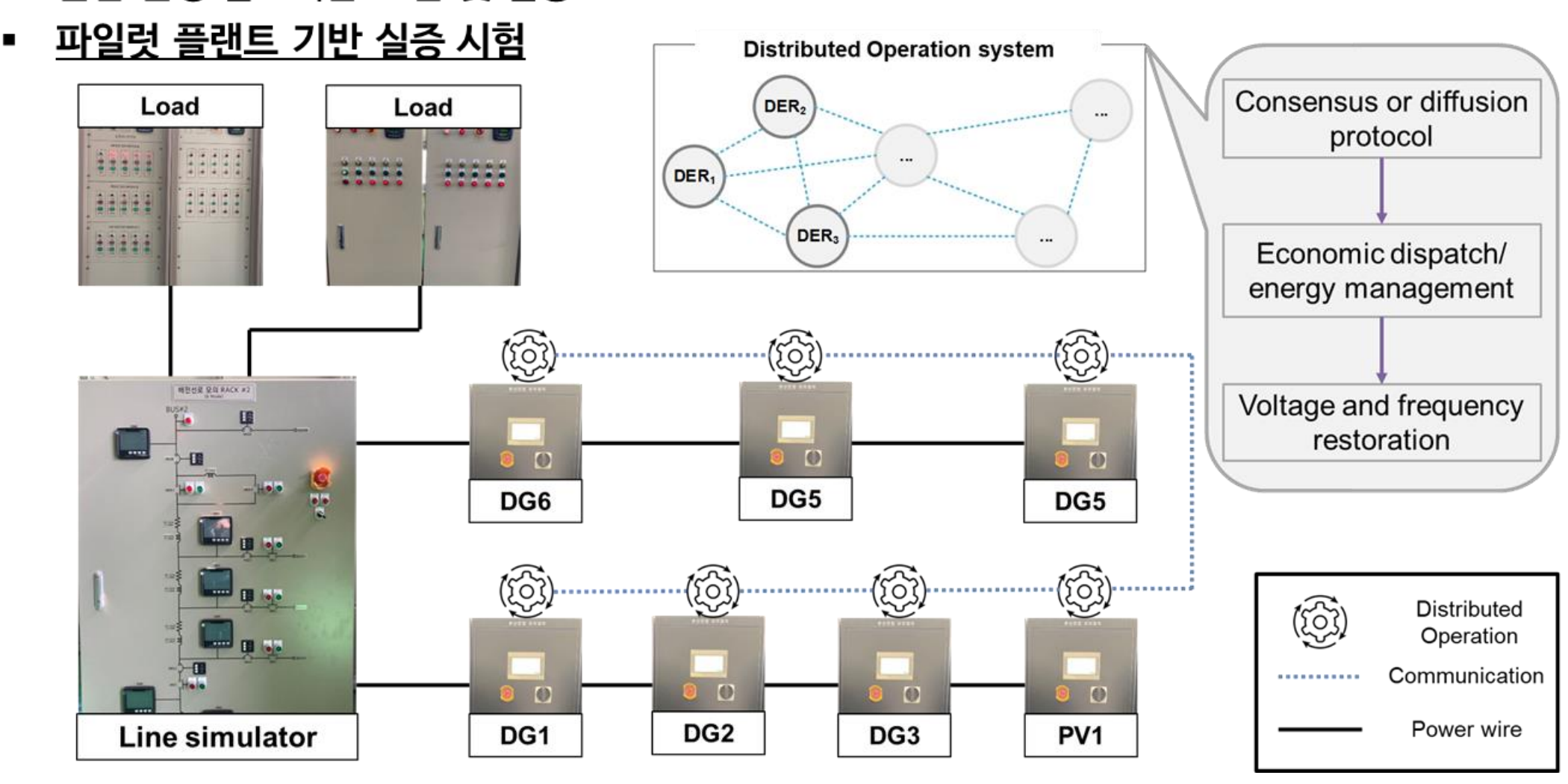
Agent	A ₁ (\$/KW2H)	β _i (\$/kWh)	γ _i (\$/kWh)
ESS ₁	0.001562	3.95	213
ESS ₂	0.00174	3.99	234
ESS ₃	0.00186	4.02	246
ESS ₄	0.00196	4.05	270
ESS ₅	0.00208	4.09	283

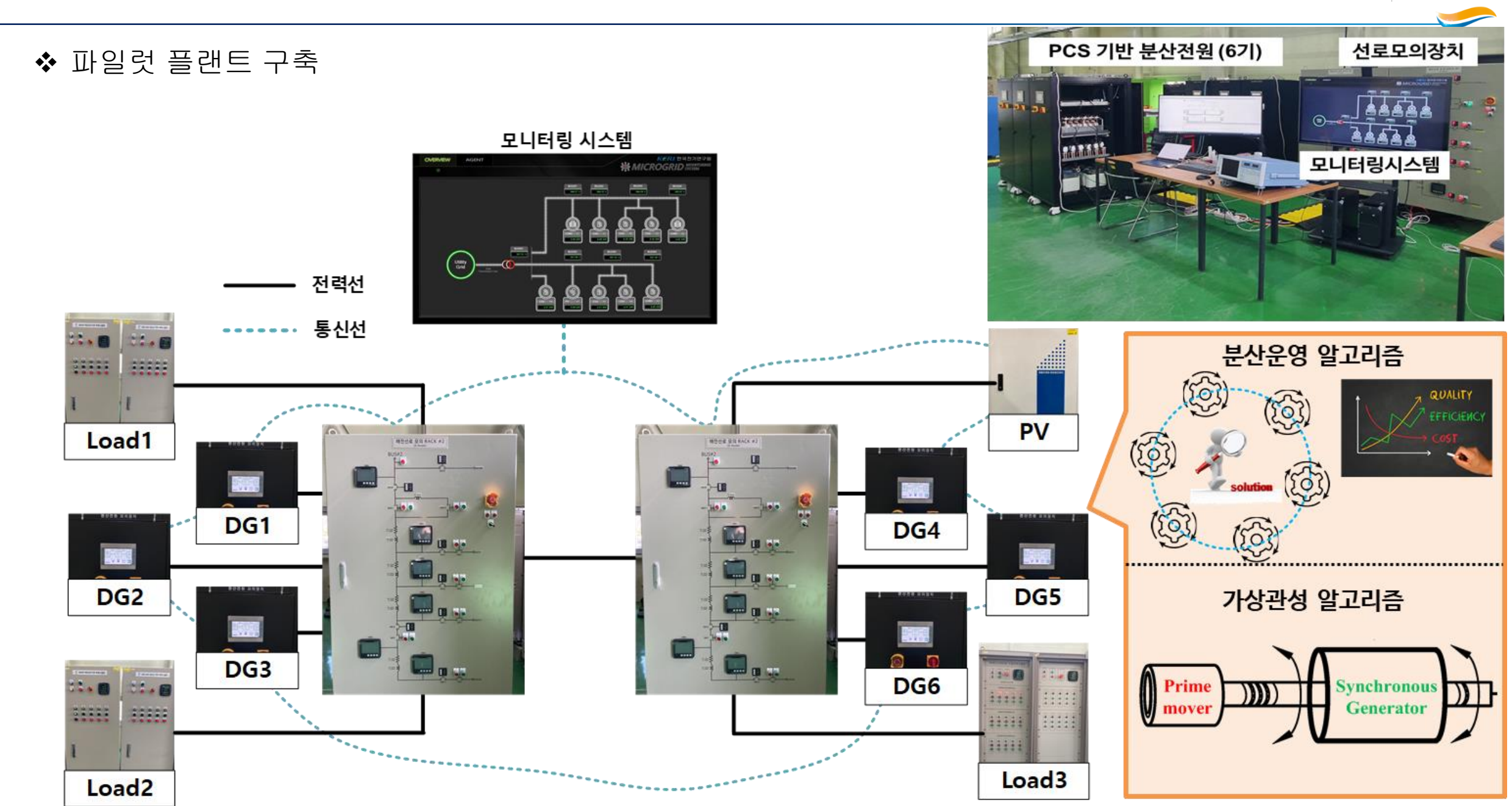
Symbol	PARAMETER	Value
T _s	Sampling time	50 μs
T _{com}	Communication time	0.1 s
T _{EMS}	EMS command time	30 s
k _{sp} ,k _{si}	PI gains of secondary controller	0.01,6



20

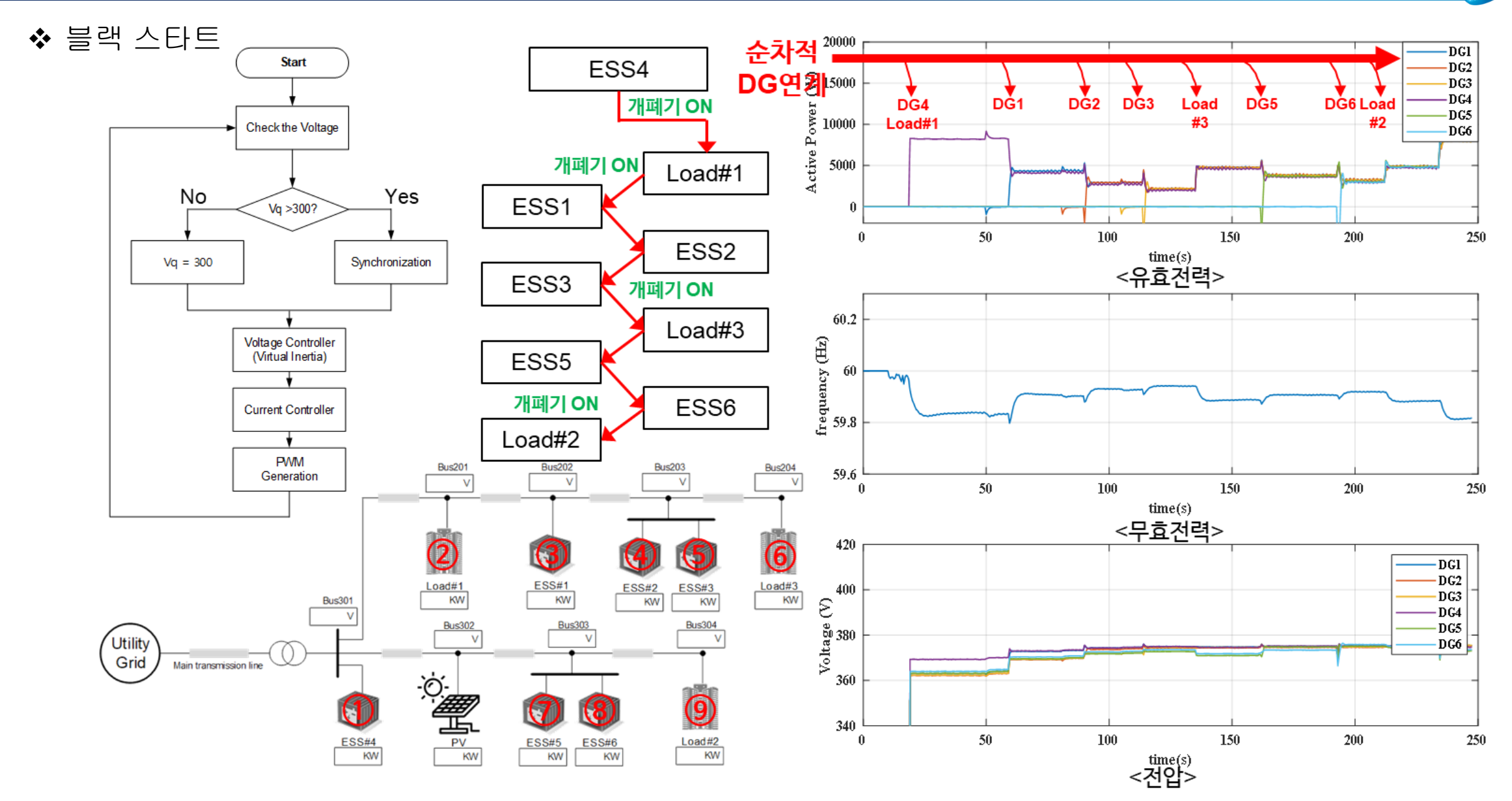
- ❖ 파일럿 플랜트 적용, 실증 운전을 통한 성능시험 및 보완
 - 계통유지제어 알고리즘 보완 및 실증
 - 분산 운영 알고리즘 보완 및 실증







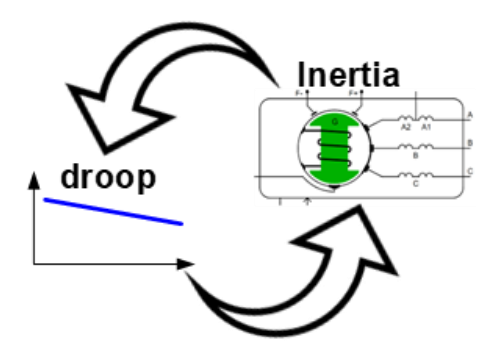






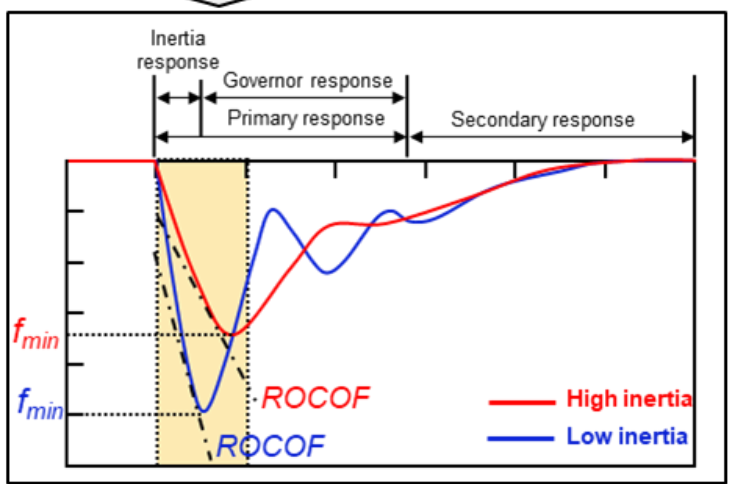


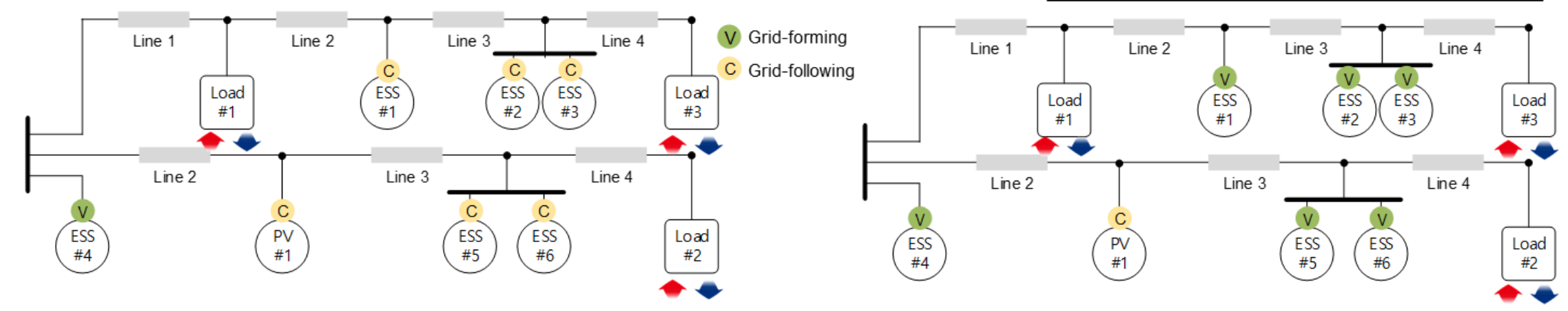
- 가상임피던스 효과 검토
- 비교군: Droop 제어 vs. 가상관성제어
 - 부하변동 : 저부하 → 고부하
 - Grid-forming 컨버터 탈락 시, 동특성 검토



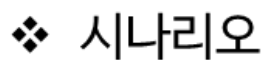
Check Point

- 1. 주파수 안정도(Nadir, ROCOF)
- 2. Resiliency(Grid-forming)





time(s)

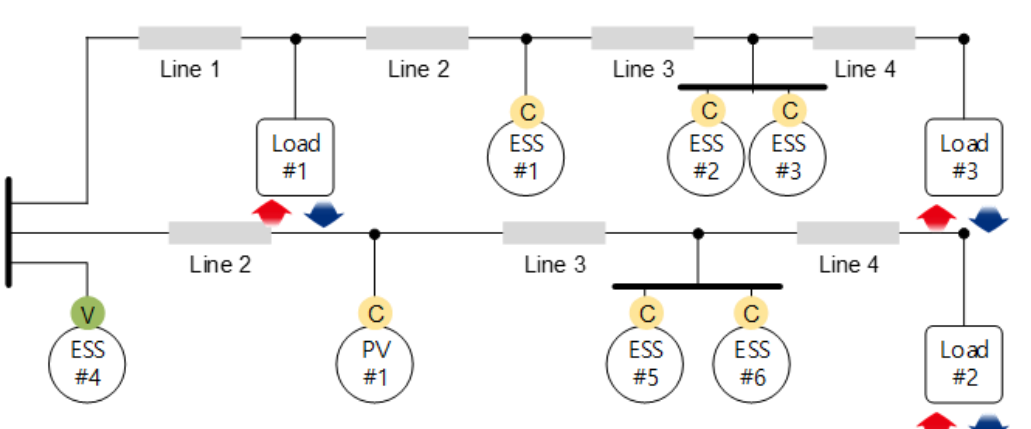


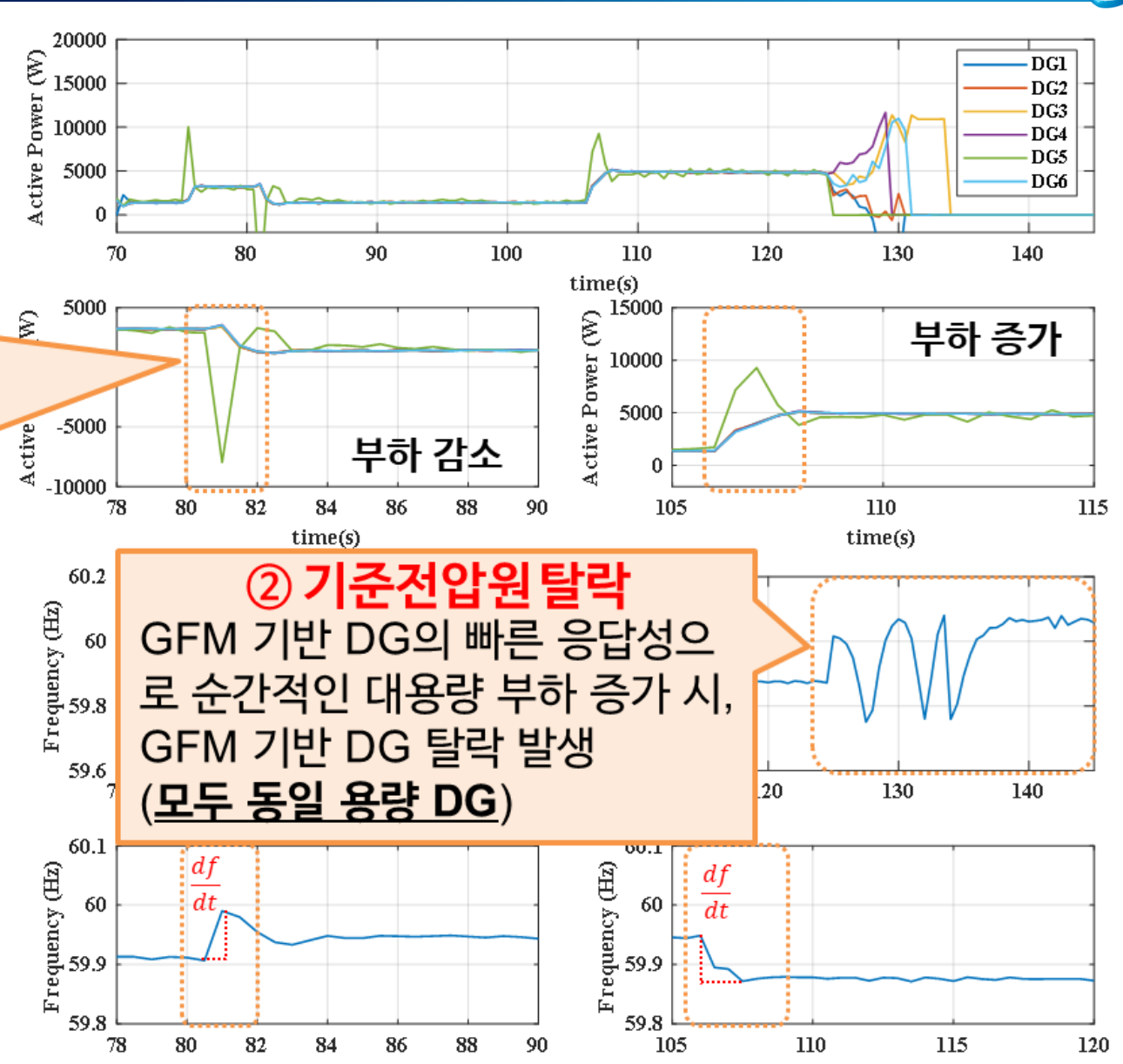
DG5 : 단일 기준 전압원

DG(1,2,3,4,6) : Grid-following 기반 droop제어

① 부하변동

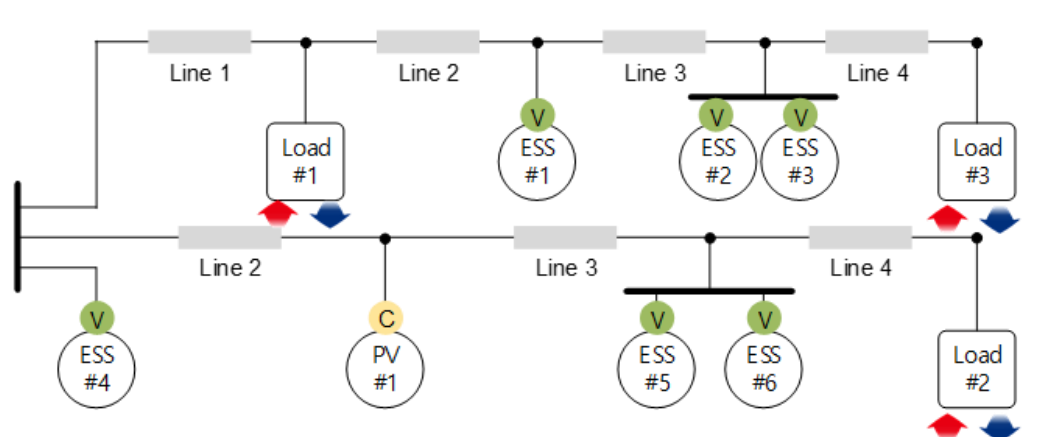
- ❖ 부하 감소
 - GFM 기반 DG의 빠른 응답성으로 부하감소 시 과도 상태 발생
- 부하 증가
 - GFM 기반 DG의 빠른 응답성으로 부하증가 시 과도 상태 발생

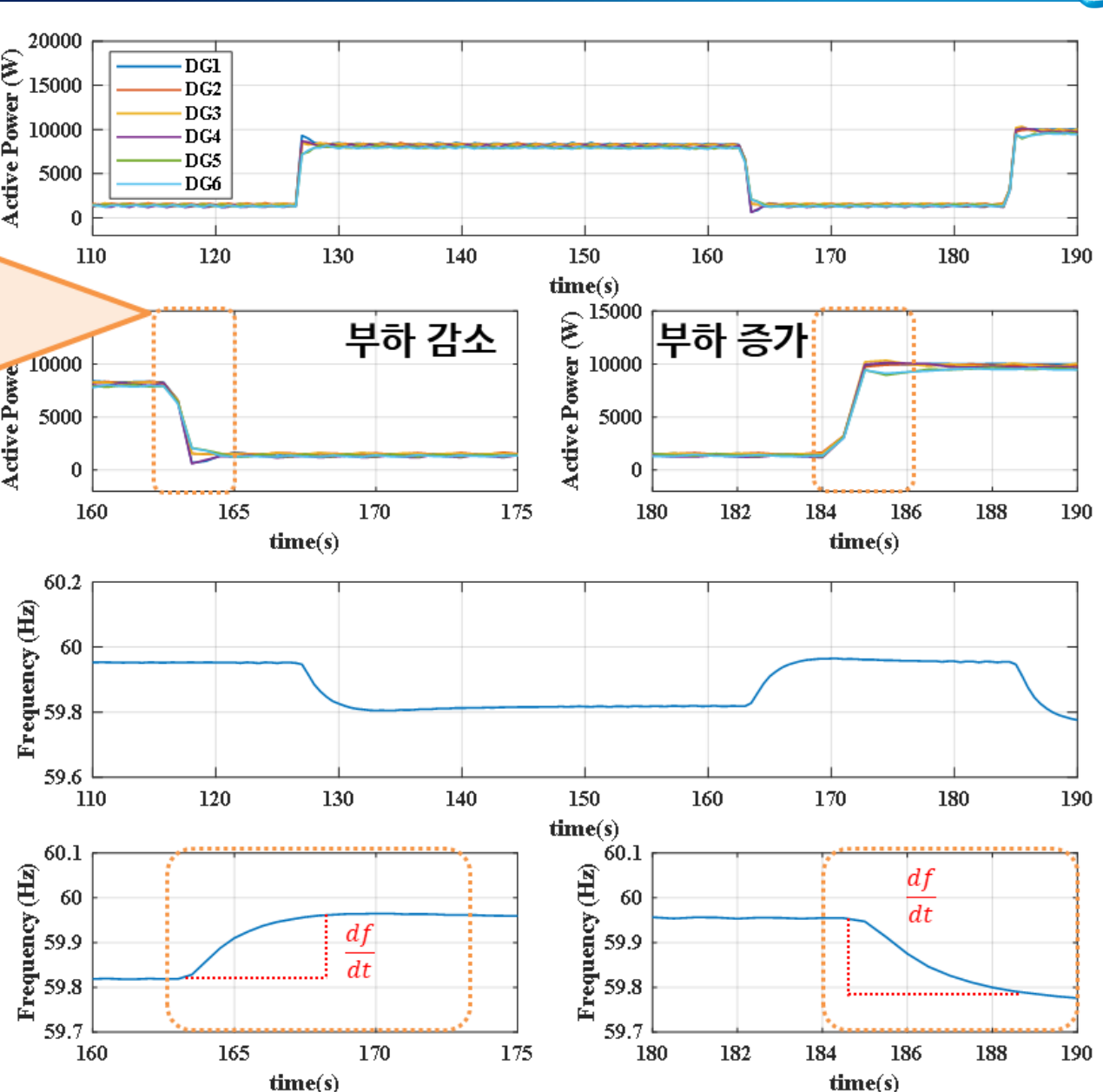


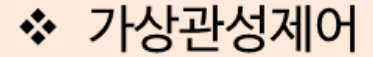


time(s)

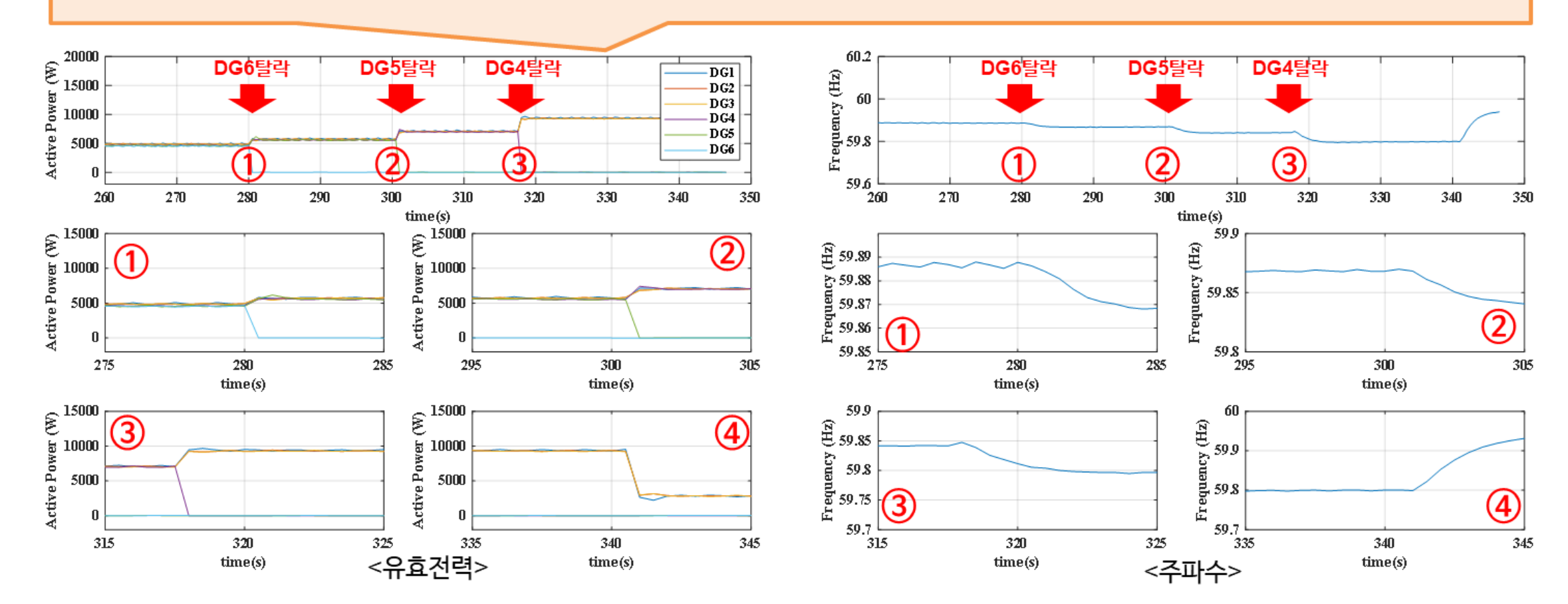
- ❖ 시나리오
 - DG 전체 GFM 기반 가상관성제어
 - ❖ 부하 감소(50kW → 10kW)
 - GFM 기반 가상관성제어로 큰 용량의 부하감소에도 안정적인 주파수 제어 가능
 - ❖ 부하 증가 (10kW → 60kW)
 - GFM 기반 가상관성제어로 큰 용량의 부하증가에도 안정적인 주파수 제어 가능







- 시나리오 : 약 342초까지 부하량은 동일하며, 순차적 DG 탈락
- GFM 기반 제어를 수행하므로 발전원이 탈락하더라도 안정적인 시스템 주파수 및 전압 유지가 가능함









No.	A _I (\$/KW2H)	β _i (\$/kWh)
DG ₁	0.001562	3.82
DG ₂	0.00174	3.99
DG ₃	0.00186	4.15
DG ₄	0.00196	4.53
DG ₅	0.00208	5.09
DG ₆	0.00219	3.11

❖ ① 구간 (1차 제어기 운전)

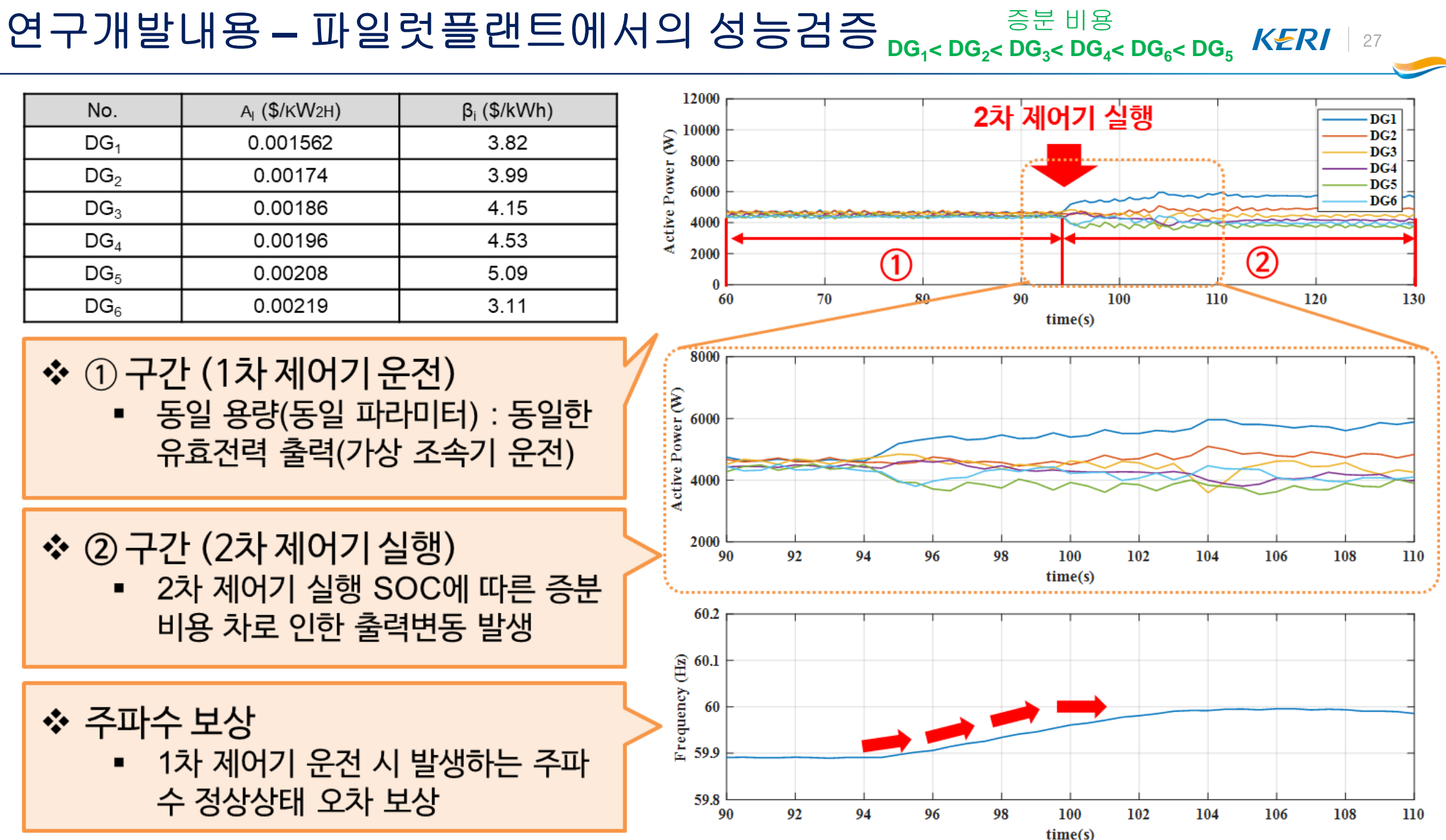
■ 동일 용량(동일 파라미터) : 동일한 유효전력 출력(가상 조속기 운전)

❖ ② 구간 (2차 제어기 실행)

■ 2차 제어기 실행 SOC에 따른 증분 비용 차로 인한 출력변동 발생

❖ 주파수 보상

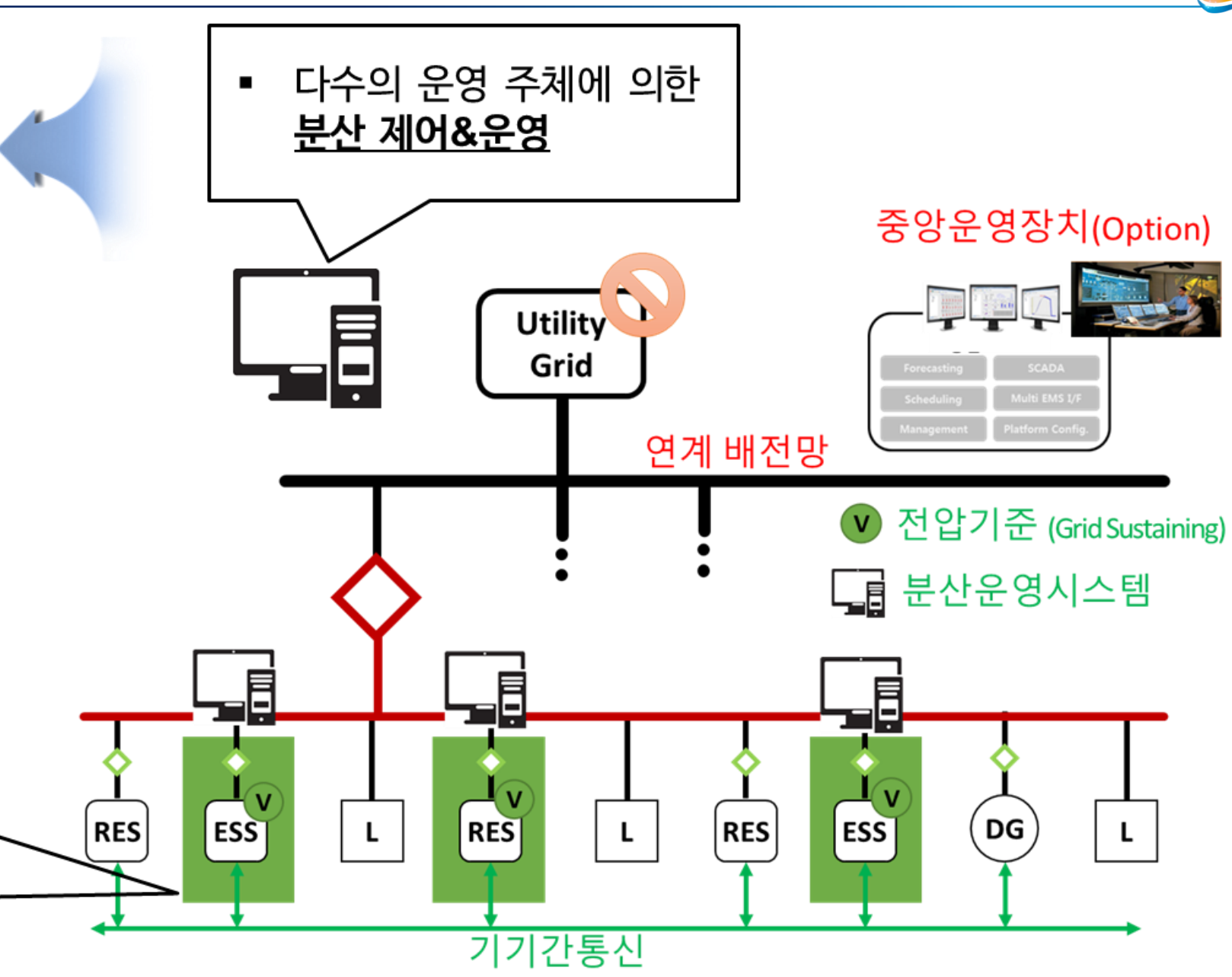
■ 1차 제어기 운전 시 발생하는 주파 수 정상상태 오차 보상



- 관성제공을 통한 재생 전원 수용률 증대
- 시스템 보완 및 확장이 쉬움(plug&play)
- 통신 및 마이크로그리 드내 사고에 강인



- <u>전압 제어 기반</u> 분산전원 연계
- <u>가상관성</u>을 적용한 <u>주파수</u> <u>안정도 제고</u>



Distributed Power System Research Center

Thank you

